

МІНІСТЕРСТВО ОСВІТИ І НАУКИ УКРАЇНИ  
СУМСЬКИЙ ДЕРЖАВНИЙ УНІВЕРСИТЕТ  
ФАКУЛЬТЕТ ЕЛЕКТРОНІКИ ТА ІНФОРМАЦІЙНИХ ТЕХНОЛОГІЙ

КАФЕДРА КОМП'ЮТЕРНИХ НАУК

Кваліфікаційна робота магістра

**ІНФОРМАЦІЙНА ТЕХНОЛОГІЯ ВІЗУАЛІЗАЦІЇ ЕЛЕМЕНТІВ  
ДОПОВНЕНОЇ РЕАЛЬНОСТІ В СИСТЕМАХ ДИЗАЙНУ ІНТЕР'ЄРІВ**

Здобувач вищої освіти гр. ІКм.-11

Богдан ТРУСОВ

Науковий керівник,  
кандидат фізико-математичних наук,  
асистент кафедри комп'ютерних наук

Ольга ШУТИЛЄВА

В.о. завідувача кафедри  
кандидат технічних наук, доцент  
доцент кафедри комп'ютерних наук

Ігор ШЕЛЕХОВ

Суми 2022

Сумський державний університет

(назва вузу)

Факультет ЕЛІТ Кафедра Комп'ютерних наук

Спеціальність «122 – Комп'ютерні науки»

Затверджую:

в.о.зав.кафедрою \_\_\_\_\_

“ \_\_\_\_\_ ” \_\_\_\_\_ 2022 р.

## ЗАВДАННЯ НА ДИПЛОМНИЙ ПРОЕКТ (РОБОТУ) СТУДЕНТОВІ

Трусову Богдану Олексійовичу

(прізвище, ім'я, по батькові)

1. Тема проекту (роботи) Інформаційна технологія візуалізації елементів доповненої реальності в системах дизайну інтер'єрів

затверджую наказом по інституту від “ \_\_\_\_\_ ” \_\_\_\_\_ 2022 р. № \_\_\_\_\_

2. Термін здачі студентом закінченого проекту (роботи)

3. Вхідні данні до проекту (роботи)

4. Зміст розрахунково-пояснювальної записки (перелік питань, що їх належить розробити) 1) Огляд актуальної літератури та додатків, що використовують технології доповненої реальності. 2) Порівняння основних методів розробки програмного забезпечення з використання доповненої реальності. 3) Розробка прототипу програмного забезпечення для сканування навколишнього простору та візуалізації 3D моделей доповненої реальності.

5. Перелік графічного матеріалу (з точним зазначенням обов'язкових креслень)

6. Консультанти до проекту (роботи), із значенням розділів проекту, що стосується їх

Розділ	Консультант	Підпис, дата	
		Завдання видав	Завдання прийняв

7. Дата видачі завдання \_\_\_\_\_

Керівник

\_\_\_\_\_

(підпис)

Завдання прийняв до виконання

\_\_\_\_\_

(підпис)

### КАЛЕНДАРНИЙ ПЛАН

№ п/п	Назва етапів дипломного проекту (роботи)	Термін виконання проекту (роботи)	Примітка
1.	Аналіз літератури та готових рішень		
2.	Постановка завдання		
3.	Вибір методик за засобів розробки		
4.	Програмна реалізація		
5.	Оформлення пояснювальної записки до кваліфікаційної магістерської роботи		

Студент – дипломник

\_\_\_\_\_

(підпис)

Керівник проекту

\_\_\_\_\_

(підпис)

## РЕФЕРАТ

**Записка:** 57 стор., 49 рис., 1 таблиця, 2 додатки, 11 літературних джерел.

**Об'єкт дослідження** – інформаційна технологія візуалізацій об'єктів доповненої реальності в системах дизайну інтер'єрів

**Мета роботи** – розробка додатку на OS Android, Win з використанням Unreal Engine, Blueprint, ARCore для демонстрації засобу візуалізації.

**Результати** – проведений аналіз літератури та ринку актуальних додатків, які використовують технології доповненої реальності. Порівняно такі засоби розробки як ядро додатків доповненої реальності - ARCore та ARKit, а також рушії що можуть використовувати – Unreal Engine та Unity 3D. На основі проведеного аналізу було виявлено найбільш популярні функції додатків доповненої реальності, а саме візуалізація та взаємодія з віртуальним об'єктом. Також було обрано таргетну платформу Android. Реалізація проводилась з використанням Unreal Engine та Blueprint, що може бути нативізований у C++ код.

ДОДАТОК ANDROID, ВІЗУАЛІЗАЦІЯ ВІРТУАЛЬНОГО ОБ'ЄКТУ,  
ТЕХНОЛОГІЯ ДОПОВНЕНОЇ РЕАЛЬНОСТІ, UNREAL ENGINE,  
BLUEPRINT, 3D МОДЕЛЬ.

**ЗМІСТ**

ВСТУП	6
АНАЛІЗ НАЯВНИХ ДОДАТКІВ. ПОСТАНОВКА ЗАДАЧІ	8
1.1 Порівняння доповненої та віртуальної реальності	8
1.2 Сфери застосування технологій доповненої реальності	9
1.3 Аналіз сучасних AR-додатків та виділення основних механік та можливостей	12
1.4 Постановка задачі	14
МЕТОДИ ТА РІШЕННЯ ПРИ СТВОРЕННІ ДОДАТКІВ ДОПОВНЕНОЇ РЕАЛЬНОСТІ	15
2.1 Вибір рушію для візуалізації	15
2.2 Порівняння ARCore та ARKit	20
2.3 Розробка gltf та usdz моделей	21
ПРОГРАМНА РЕАЛІЗАЦІЯ ДЕМОНСТРАЦІЙНОГО ДОДАТКУ	24
3.1 Створення демонстраційного 3д об'єкту	24
3.2 Створення логіки додатку	28
3.3 Демонстрація роботи	38
ВИСНОВОК	41
ЛІТЕРАТУРА	43
ДОДАТОК А	44
ДОДАТОК Б	52

## ВСТУП

У сучасному світі технології розвиваються дуже швидко. Кінцевого користувача вже не здивувати корисними онлайн додатками, потоковими сервісами та подібними рішеннями, які ґрунтуються за застарілих сценаріях використання. Як наслідок було створено цілу течію рішень, що базуються на технології як доповненої так і віртуальної реальності.

Доповнена реальність є частиною змішаної реальності, тобто це будь-який віртуальний елемент, який тим чи іншим чином здатен доповнити повсякденне життя.

Зародки подібних технологій з'явилися ще у 1900 роках з винаходом стереоскопу. Цей прилад використовував функціональні можливості мозку і накладав дві різні статичні картинки на кожне око окремо, що і створювало ефект “тривимірності”, або ж “ефект присутності”. Звичайно дана технологія не йде ні в яке порівняння з сучасними аналогами, проте це відкрило простір досліджень для вчених минулого.

Першим задокументованим пристроєм пристроєм що використовував віртуальну реальність був так званий “Блакитний ящик”, або ж можелюючий політ, винайдений Едвіном Лінком. Суть була в імітації справжнього польоту, без необхідної наявності самого літака. Подібний винахід допоміг натренувати більш ніж 500 тисяч пілотів під час другої світової війни. Тобто цей випадок можна назвати першим використанням технології віртуальної реальності в освітній галузі.

Наступним великим стрибком була розробка першого реального НМД у 1970-х роках. Цей пристрій міг зчитувати рухи користувача, та візуалізувати досить прості моделі в режимі wireframe. Головним же мінусом подібного девайсу була невідомна вага, і як наслідок його необхідно було підтримувати спеціальним тримачем біля стелі.

Як альтернативу віртуальній реальності, яка повністю змінювала світогляд, вчені висунули гіпотезу про створення доповненої реальності.

Дослідник Рональд Азум висунув гіпотезу, з чого повинна складатись подібна система:

- поєднання реального і віртуального;
- взаємодія в реальному часі;
- повноцінна тривимірність.

Слідуючи цим принципам, девайс, за допомогою якого можна було б взаємодіяти з доповненою реальністю мав би бути занадто дорогим і складним у розробці, тому технологія доповненої реальності набрала обертів уже в сучасному світі, де кожна людина має в кишені смартфон.

Проте у якій сфері можна використати подібну технологію? Прикладів цьому досить багато. По перше це сфера маркетингу. Дедалі більше розробників прагнуть створити тривимірну модель своєї продукції, для кращих продаж та розвитку бізнесу. Крім того доповнену реальність використовують у розробці мобільних ігор, а також у девайсах що націлені на полегшенні повсякденності (Google glass). У даній роботі будуть розглянуті основні засоби та методи для створення демонстраційного додатку візуалізації доповненої реальності.

## 1. АНАЛІЗ НАЯВНИХ ДОДАТКІВ. ПОСТАНОВКА ЗАДАЧІ

### 1.1 Порівняння доповненої та віртуальної реальності

Поняття віртуальної та доповненої реальності досить близькі за походженням проте мають досить багато відмінностей як у сприйнятті інформації(input), так і у відображенні її кінцевому користувачу.

Першою як течія почала розвиватись віртуальна реальність, як засіб що замінює собою навколишнє середовище. Це давало безліч переваг, проте досить сильно обмежується технологіями. Один із невід'ємних елементів віртуальної реальності є окуляри, які окрім відображення віртуальних об'єктів та звуків мають датчики керування, та положення подібного девайсу у просторі. Крім того подібний пристрій має бути приєднаним до того ж ПК чи консолі. Але навіть таке розгалуження елементів на різні пристрої не дає повноцінного комфорту: VR окуляри досить важкі, та і використання їх у повсякденних задачах майже неможливе.

Саме на основі цих можливостей та недоліків почала свій розвиток доповнена реальність. Пристрої для подібних технологій набагато менші, та практичніші за VR шоломи. Наприклад той же смартфон чи Google glass або Air glass. Крім того доповнена реальність орієнтована на те щоб покращити вже існуючу повсякденність, а не замінити її повністю. Тобто це дещо різне за призначенням технологія [2].

Розглянемо основні відмінності у технічному плані AR та VR додатків. У віртуальній реальності перш за все використовується раніше створений віртуальний простір, об'єкти взаємодії, та актори, якими здатен керувати користувач. Подібні сценарії досить ресурсозатратні для системи, проте зникає необхідність відеосканування навколишнього простору. Проте той же акселерометр та гіроскоп мають бути наявними у шоломі, задля можливості керування віртуальною камерою. Крім цього необхідні інші маніпулятори, такі як джойстики, рукавички, керма і таке інше.



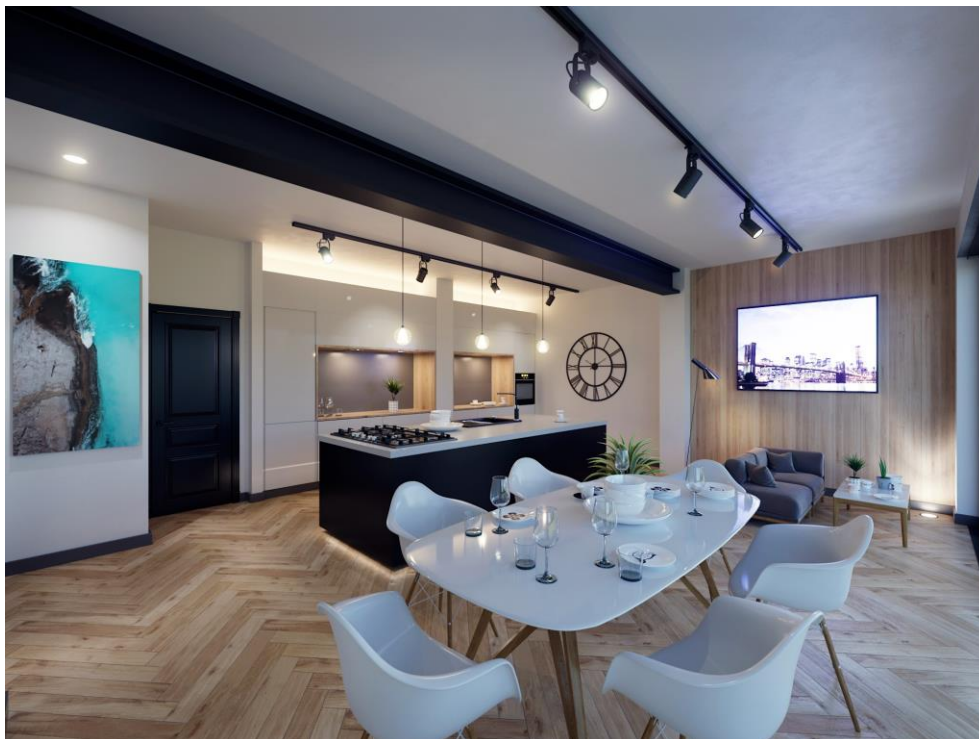


**Рисунок 1.1** – Приклад шолому VR із маніпуляторами

На відміну від віртуальної, доповнена реальність не потребує досить складних та незручних гаджетів, проте і має іншу менту. Найчастіше достатньо смартфона та гарно налаштованого додатку.

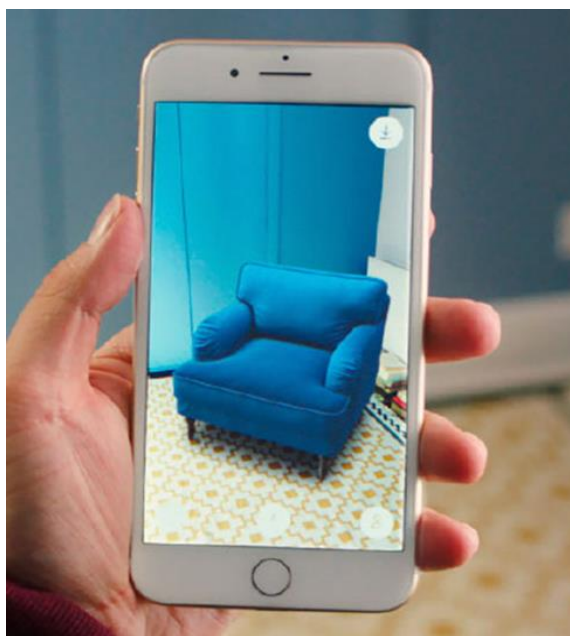
## **1.2 Сфери застосування технологій доповненої реальності**

У сучасному світі ринок бізнесу не стоїть на місці. Кожен власник намагається просунути свій продукт “в топ” для отримання все більших доходів. Найбільшого ривку останнім часом зазнала технологія доповненої реальності. Найбільшою перевагою даної технології є візуалізація того, чого ще немає. Більшість компаній, які займаються розробкою інтер’єрів, чи продажу мебельних продуктів стикається з пошуком команди 3D художників для візуалізації продукту. Це необхідно щоб показати що саме в результаті отримає покупець на виході.



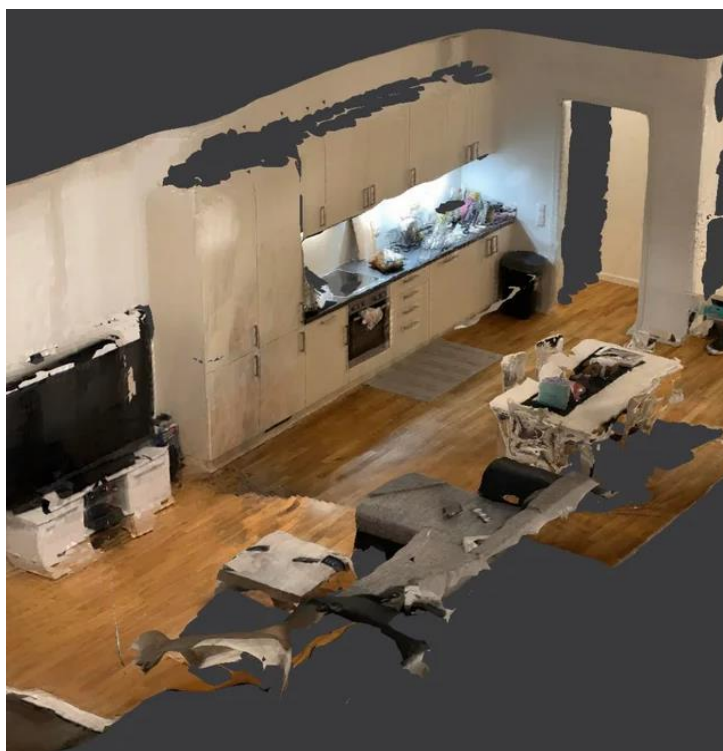
**Рисунок 1.2** – Приклад візуалізації інтер'єру

Проте з розвитком технологій як віртуальної так і доповненої реальності необхідність у цьому цілковито зникне. Адже користувач зможе відкрити онлайн магазин, завантажити її у свій смартфон, та віртуально прикинути як зміниться його інтер'єр. Подібну технологію вже використовує такий гігант як ІКЕА[5].



**Рисунок 1.3** – AR мітка ІКЕА

Крім того, зі збільшення обчислювальних можливостей з'явиться можливість візуалізувати безліч об'єктів водночас. Крім візуалізації віртуальних об'єктів ще однією перевагою доповненої реальності є сканування та аналіз навколишнього світу. Подібний функціонал можна використати як для розваг (маски в соціальних мережах) так і для розробки серйозного софту. Перший та більш простий це сканування навколишнього світу для отримання реальних габаритів об'єкту. Подібні додатки досить зручні, адже результати вимірювання автоматично збираються у звіт. Крім того, деякі сучасні смартфони оснащені додатковим сканером, за допомогою якого можна перетворювати відскановану реальність і повноцінний 3D об'єкт. Так, він не буде ідеальним та матиме безліч недоліків, проте за умови якісного освітлення можна отримати чудову чорнову геометрію з високоякісними текстурами, які можна використовувати після ретопології, або як матеріал для інших об'єктів. Мінусом подібної технології є те, що вона майже не працює на смартфонах із Android OS.



**Рисунок 1.4** – Результат сканування кімнати за допомогою смартфона

### **1.3 Аналіз сучасних AR-додатків та виділення основних механік та можливостей**

Ринок додатків для сучасних смартфонів зростає неймовірно швидко. Це дає змогу зрозуміти, чим приваблива подібна технологія, та які можливості вона надає. Перше що може прийти на думку, пов'язане з технологіями доповненої реальності це маски в тому ж Instagram чи фейсбук. Головною їх “фішкою” є те, що вони повторюють рухи обличчя користувача в реальному часі. Ця можливість з'являється завдяки таким функціям як:

- розпізнавання обличчя в реальному часі;
- захоплення типово-можливих рухів.

Тобто конкретно у цьому випадку AR функції будуються на можливостях фотозйомки та спрощеної технології motion capture. Перш за все створюється 3d модель маски, далі налаштовується базовий матеріал, за необхідності додається ефект. Наступним кроком є риггинг вже створеної моделі, тобто створення скелету на основі опорних точок, та налаштування поверхні при її деформації. Фактично, художник власноруч створює можливість переходу моделі із одного стану в інший. Наступним етапом іде прив'язка створених маркерів 3d моделі до тих, що змогла знайти система розпізнавання [3].

Наступні додатки можна згрупувати в такі категорії як перегляд раніше створених моделей у віртуальній сцені з використанням гіроскопу, та візуалізація 3d моделі поверх відеоряду. Як приклад можна розглянути веб додаток model editor. Він дає змогу завантажити модель у форматі GLTF та роздивитись її у реальному розмірі.



**Рисунок 1.5** – Приклад візуалізації об'єкту за допомогою model editor

ARLOOPA – це ще один додаток, схожий за функціоналом, проте використовує дещо інші технології. Він здатен сканувати навколишнє середовище, і прив'язувати відскановані 2d зображення до раніше створених тривимірних. Подібні технології можна використати як для розваги так і в сфері маркетингу.



**Рисунок 1.6** – Приклад роботи додатку ARLOOPA

Крім цих прикладів слід також згадати додатки типу AR Plan, що дає можливість за допомогою камери телефону зняти розміри елементів навколишнього середовища, та зручно зберегти отримані дані в звіт. Отже, з вище проведеного аналізу розуміємо що найпоширенішими можливостями додатків доповненої реальності є:

- сканування та трекінг оточення
- відображення створених 3д об'єктів
- шейдинг створеного 3д об'єкту
- відображення UX/UI поверх відеопотоку

На основі цих функцій можна перейти до постановки задачі.

#### **1.4 Постановка задачі**

Необхідно створити прототип додатку доповненої реальності, який матиме наступний функціонал:

1. Сканування 3D простору і знаходження вільної площини у просторі.
2. Відображення та шейдинг віртуальної моделі, згідно відсканованому простору.
3. Поворот та масштабування віртуальної моделі.



## 2. МЕТОДИ ТА РІШЕННЯ ПРИ СТВОРЕННІ ДОДАТКІВ ДОПОВНЕНОЇ РЕАЛЬНОСТІ

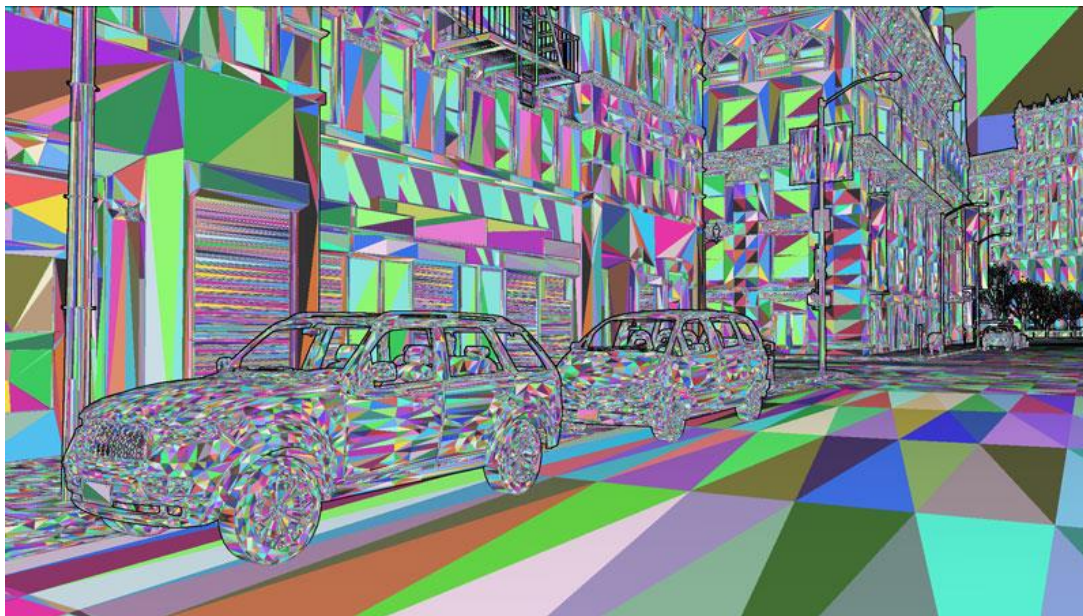
### 2.1 Вибір рушію для візуалізації

Основним набором інструментів, які необхідні для створення додатку є 3D рушії. Їх існує безмежна кількість, проте вибір буде здійснюватись із вбудованою підтримкою основних бібліотек для додатків доповненої реальності. Розглянемо два найпопулярніших рушії, які підтримують API ARCore та ARKit.

Unreal engine – ігровий рушій, створений компанією Epic Games. Дана програма являє собою необхідний набір інструментів для створення усіх аспектів програми, незалежно від того чи це повноцінна гра на ПК чи додаток для смартфона. Перша гра, що була розроблена на цьому рушії мала спільну назву, та відносилась до жанру шутерів, що і породило міф про те що unreal вузькоспрямований рушій. Подібні речі були спростовані після опублікування документації, та надання доступу до технологій Epic Games. Крім того з виходом 5 версії рушію у 2022 році, великий відсоток інструментарію був оновлений, а також додані проривні технології: Lumen, Nanite [1].

Lumen Global Illumination - це варіант роботи зі світлом, який дещо схожий на трасування променів. Проте основну задачу, яку він вирішує це дифузне відбиття променів від освітленої поверхні. Крім того, Lumen здатен забезпечити нескінченні дифузні відбиття, в результаті чого колір елементів фінального рендеру набуває максимальної реалістичності.

Nanite Virtualized Geometry – технологія динамічного відображення геометрії за допомогою полігональних кластерів. При завантаженні моделі в рушій та підготовці її до використання відбувається аналіз поверхні, та розбиття її на блоки. При візуалізації даного об'єкту рушій сам вираховує необхідну кількість кластерів, яка необхідна моделі. Подібна технологія витісняє використання рукотворних LOD-моделей, що позитивно позначається як на швидкості розробки продукту, так і на його оптимізації.[4]



**Рисунок 2.1** – Nanite

Стосовно конкурентів: чим саме цей рушій виділяється від Unity. А відмінності досить суттєві. Перш за все у кожного рушія свій список платформ, під які розробники можуть створювати свій продукт. Unreal може похизуватися такими: PC, PS4, Xbox, Android, SteamOS, iOS та Linux. Наступною перевагою даного рушію є використання технології Blueprint - програмування за допомогою нод. По суті, кожна нода має свій аналог у класичному програмуванні, наприклад той же умовний оператор, цикл, колекція і таке інше. Але при компіляції проекту всередині рушія відбувається нативізація програмного коду з віртуального середовища. Таким чином розробник працює з блюпринтом, що прискорює розробку та мінімізує шанс отримання помилки, і при цьому є можливість власноруч створювати код. Достатньо при створенні проекту вказати засіб розробки. Крім того ці два підходи можна комбінувати між собою: проект розробляється за допомогою блупринтов, а деякі специфічні функції чи класи написані за допомогою C++ та імплементовані у вигляді ноди. Приклад візуального програмування ви можете спостерігати нижче [7]:



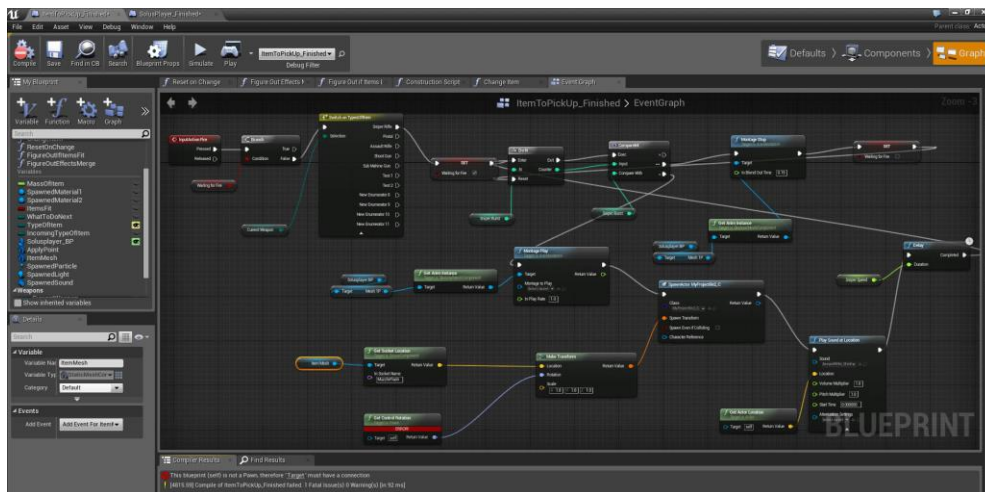


Рисунок 2.2 – Приклад використання технології Blueprint

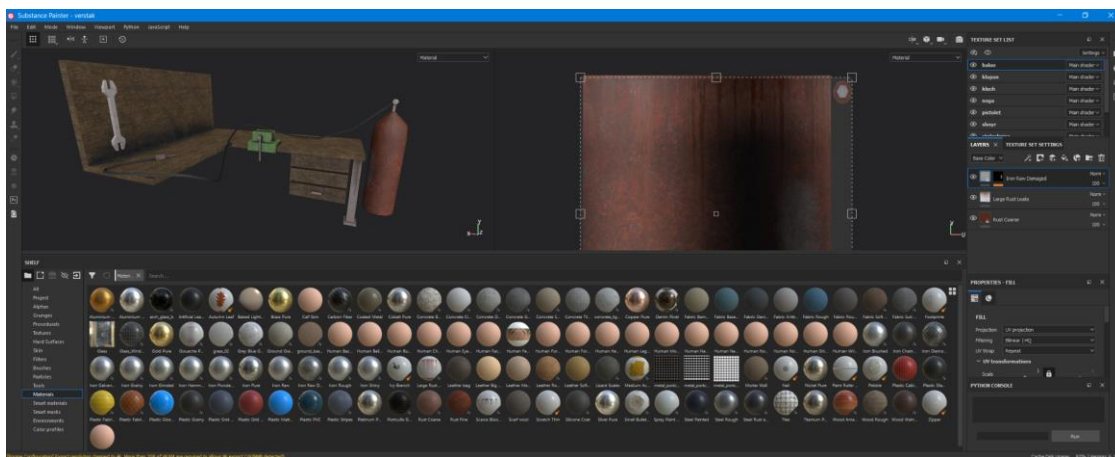


Рисунок 2.3 – Приклад текстурування у програмі Substance Painter

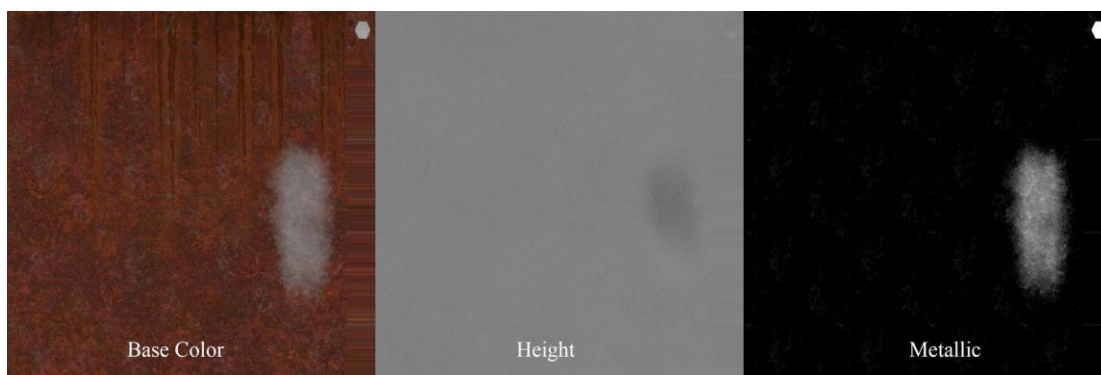


Рисунок 2.4 – PBR текстури

Вище описані інструменти є основою майже всіх пайплайнів створення тривимірної графіки. Ще однією перевагою даного рушію на відміну від конкурентів є досить гнучкий та потужний редактор матеріалів. Він підтримує

основні пайплайни роботи з 3D гарфікою та текстурами стандарту PBR, а також потребує використання Dx Normal. Крім того, асети потребують внутрішнього налаштування в рушії лише раз. Після збереження їх можна завантажувати в пару кліків.



Рисунок 2.5 – Редактор матеріалів Unreal Engine 4

Як альтернативу, можна використовувати glTF Runtime для імпорту спеціальних AR моделей у форматі GLTF. Це суттєво прискорить інтеграцію моделі, адже подібні моделі уже містять в собі налаштовані текстури та матеріали за пайплайном metallic-roughness.

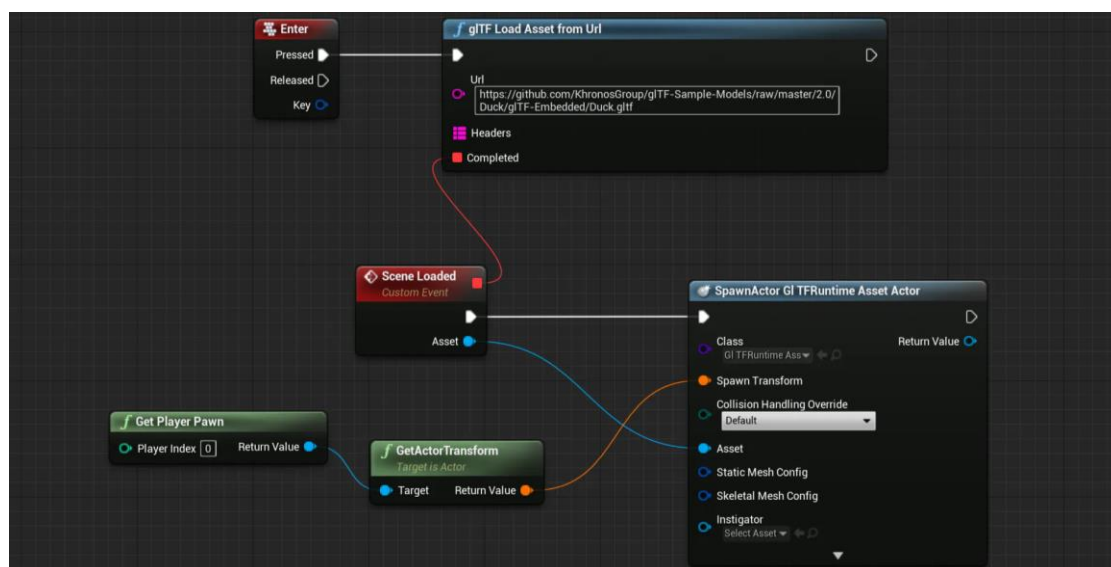


Рисунок 2.6 – Інтеграція готової AR моделі

Також слід згадати те, що вихідний код рушію відкритий, і в розробників є можливість змінювати уже готові частини рушію, а також з легкістю додавати свої. Для прикладу, було створено `blueprint`, що дозволяє використовувати `C#` замість `C++`. Із мінусів даного рушію є те що він потребує 4.2gb оперативної пам'яті при розрахунках освітлення та взагалі не підтримує 32-х розрядні операційні системи. Це вносить технічні обмеження як для розробників(необхідне сучасне обладнання для розробки) також для юзерів і із за цього обмеження кількість платформ для розробки різко зменшується [7].

Іншим же вибором є рушій `Unity3d`. Так як обидва розглянуті рушії мають вбудовану підтримку кросплатформенності, то розглянемо інші аспекти подібного софту. Перш за все `Unity` набагато легше свого конкурента, як в плані необхідної фізичної пам'яті ПК, так і в плані ресурсів для розробки. Для комфортної роботи йому необхідно лише до 10 гігабайтів вільного місця. В плані візуалізації `Unity` використовує бібліотеки `DirectX 11` що робить неможливим використання технологій трасування променів. Динамічного розбиття моделей також немає, тож необхідно використовувати старий метод ручної оптимізації графіки. Подібні речі значно збільшують термін виробництва фінального продукту. Слід також зазначити чутливість цього рушію до використання та менеджменту пам'яті. При великому проектному навантаженні можуть з'явитись недоліки у вигляді статерів, тож рушій типу `Unity` краще використовувати у розробці легких та невибагливих додатків [11].

Налаштування для створення додатків доповненої реальності у обох варіантах дещо схоже. Перш за все необхідно налаштувати `Android SDK` та `NDK` а також пакет `Java`. Наступним кроком потрібне налаштування самого проекту в рушію, його збірку на ту чи іншу платформу. Слід пам'ятати що `Android` та `IOS` використовують різне ядро для проектів доповненої реальності, проте що `Unity` що `Unreal` підтримують обидва ядра розробки. Єдиний мінус `Unity` це його закритий код, і дещо погана оптимізація. Подібний рушій підходить для простих проектів, тоді як складні та перегружені контентом викликають зависання та в цілому погано використовують ресурси системи.

## 2.2 Порівняння ARCore та ARKit

Існує безліч SDK для створення додатків доповненої реальності проте порівняємо найбільші, які були створені компаніями Google та Apple. Перевагою даних наборів інструментів є те що вони:

- нативні для своєї цільової операційної системи
- ARKit чудово імплементуються в систему IOS
- розуміє всі налаштування камери, зчитування рухів та інших речей, що спрощує задачу розробникам.

ARCore починав свій шлях як чистий android sdk, і лише з часом став набором інструментів для розробки додатків доповненої реальності. По функціоналу має деякі відмінності від ARKit. Наприклад має додатковий вузол налаштування шейдерів, що цілковито сказується на фінальній картинці. При використанні даної бібліотеки з потужним рушієм типу Unreal можна отримати картинку дуже високої якості. Крім того ARCore може аналізувати освітлення у відсканованому просторі, і налаштувати освітлення віртуального об'єкту під сцену. Дана бібліотека підтримується двома платформами. Нижче наведено таблицю переваг та недоліків даних SDK [8].

**Таблиця 2.1** –Порівняння SDK

ARCore		ARKit	
переваги	недоліки	переваги	недоліки
Покращені графічні можливості (шейдери)	Гірше захоплення руху відсканованих об'єктів	повна інтеграція в IOS	відсутнє додаткове налаштування шейдерів
Оцінка освітленості та глибини простору	Трохи гірша сумісність із IOS у порівнянні з ARKit	легка робота з usdz форматом за допомогою Reality Composer	підтримується тільки на смартфонах від Apple

Кроссплатформеність		Покращене відстеження рухів та mo-cap у порівнянні з версією від google	відсутня зворотня підтримка версій
---------------------	--	---	------------------------------------

### 2.3 Розробка gltf та usdz моделей

Основою будь-якого додатку доповненої реальності є 3D об'єкт. Подібні файли можуть мати безліч форматів, проте основними для AR є GLB(android) та USDZ(IOS). Розробка подібних моделей поділяється на декілька етапів.

Моделювання високо полігональної моделі за допомогою будь-якого зручного 3д редактору. Наприклад 3ds max, blender, maya та інші. Подібна модель може містити більше 5 мільйонів полігонів, та передавати найдрібніші деталі 3д об'єкту. Розгортати модель на UV не потрібно, адже дана версія моделі буде використовуватись суто для запікання карт нормалей та висот.



**Рисунок 2.7** – Приклад високо полігональної моделі

Наступним етапом створення AR об'єкту є моделювання низькополігональної версії, для економії ресурсів гаджету. Перш за все, якщо це можливо, прибираються модифікатори згладжування з моделі такі як TurboSmooth, MeshSmooth, Divide, залежно від 3д редактора. Це максимально зменшить час розробки. У іншому випадку можна скористатись інструментом

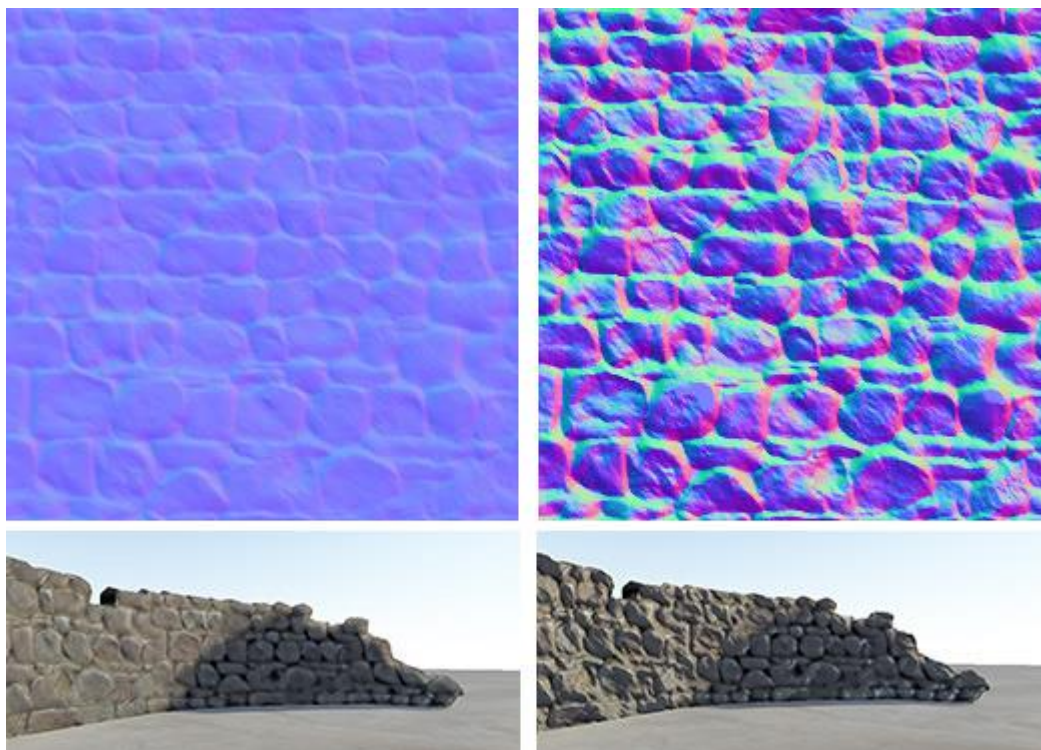
Реторо у програмі Zbrush і відрегулювати необхідну деталізацію. Проте, як це часто буває, результат отриманий від автоматизованих інструментів не завжди є гарної якості, тому слід перевіряти отриману топологію.



**Рисунок 2.8** – Приклад низько полігональної моделі

Наступним етапом у створенні 3д моделі доповненої реальності це заікання карт нормалей і та висот з high на low. Подібний метод використовують майже у всіх пайплайнах розробки 3д додатків. Суть полягає у наступному: обидва варіанти моделі накладаються одна на одну. Із низькополігональної моделі виходять промені, і до тих пір поки не досягнуть високополігонального аналогу. Якщо відмінність нема то у даному місці карта нормалі отримає нейтрально блакитний колір, у іншому ж випадку він зміниться на жовтий чи зелений. Слід також розуміти для якої платформи розроблятиметься дана модель і обрати тип нормалі: `normal_gl` чи `normal_dx`. Різниця полягає у інвертованому зеленому каналі для версій під DirectX. Карта висот представляє собою чорно білий градієнт поверхні де темні ділянки позначають рівень нижче лоупольної моделі, а білі навпаки вище.





**Рисунок 2.9** – Приклад роботи карти висот

Наступний етап збірки моделей може поділитись на два варіанти. Перший: створення glb або usdz моделі з використання стороннього софту. Наприклад утиліта Substance Painter або рушій візуалізації Marmoset Toolbag чи навіть Blender. Суть полягає у налаштуванні матеріалу, як він має відбивати чи заломлювати світло. Створений із металоподібних матеріалів чи діелектриків. У випадку використання цього варіанту, додатково налаштовувати щось безпосередньо у рушії Unreal чи Unity не потрібно.

У випадку ж завантаження компонентів моделі до рушію окремо, можна більш тонко налаштувати матеріали, і відразу побачити їх фінальний вигляд. Крім того цей спосіб є єдиним у випадку якщо програма передбачатиме динамічну зміну матеріалів на об'єкті.

### 3. ПРОГРАМНА РЕАЛІЗАЦІЯ ДЕМОНСТРАЦІЙНОГО ДОДАТКУ

#### 3.1 Створення демонстраційного 3д об'єкту

Перш ніж переходити до роботи у самому рушії необхідно створити базу 3д модель дивану та декілька варіантів кольору до неї. Для цього використаємо 3ds max. Отримуємо результат.



Рисунок 3.1 – створений 3D об'єкт

Наступним кроком необхідно налаштувати UV розгортку для цієї моделі. Для цього використаємо програму Rizom UV.

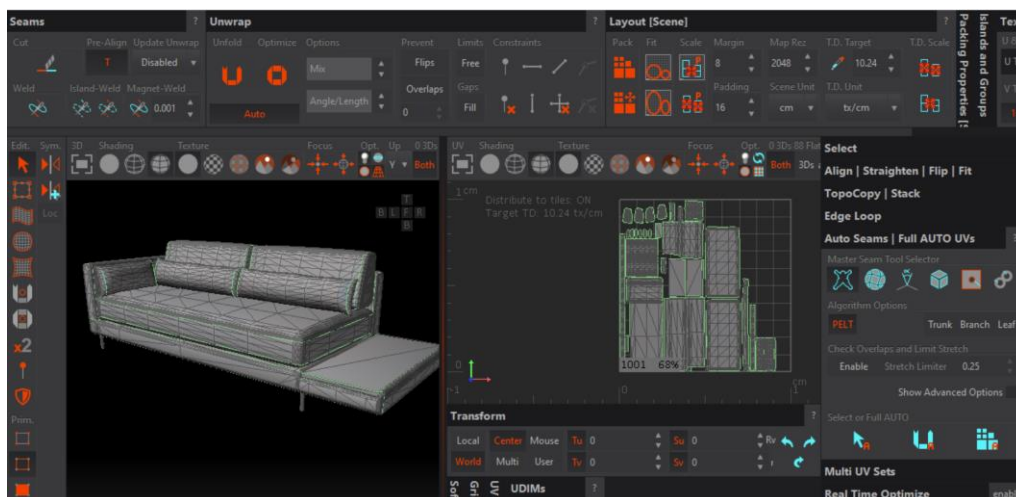


Рисунок 3.2 – розгортка



Після цього необхідно завантажити створену модель у Substance Painter та створити матеріали для кожного об'єкту моделі. Слід зауважити, що збирати модель у GLB непотрібно, адже надалі вона буде завантажена у рушій разом із текстурами окремо.

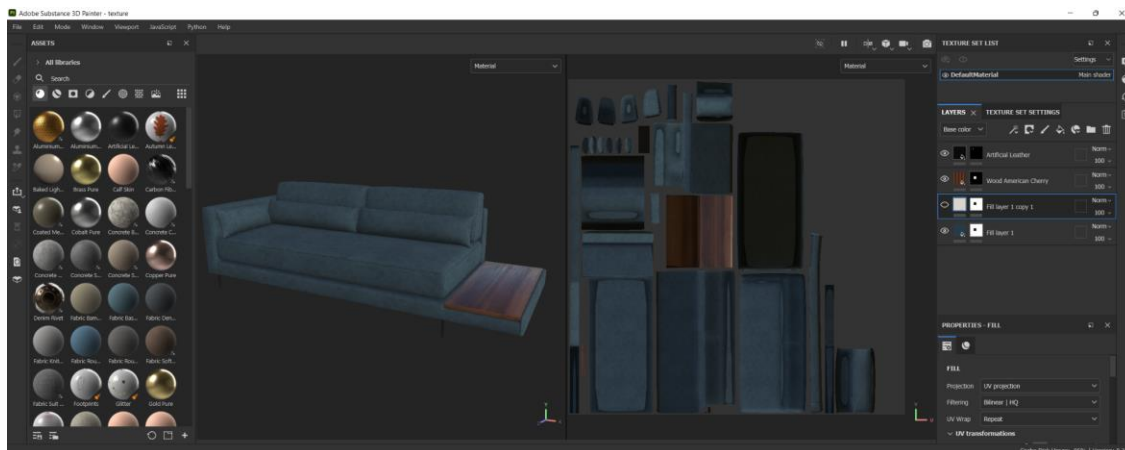


Рисунок 3.3 – налаштований об'єкт

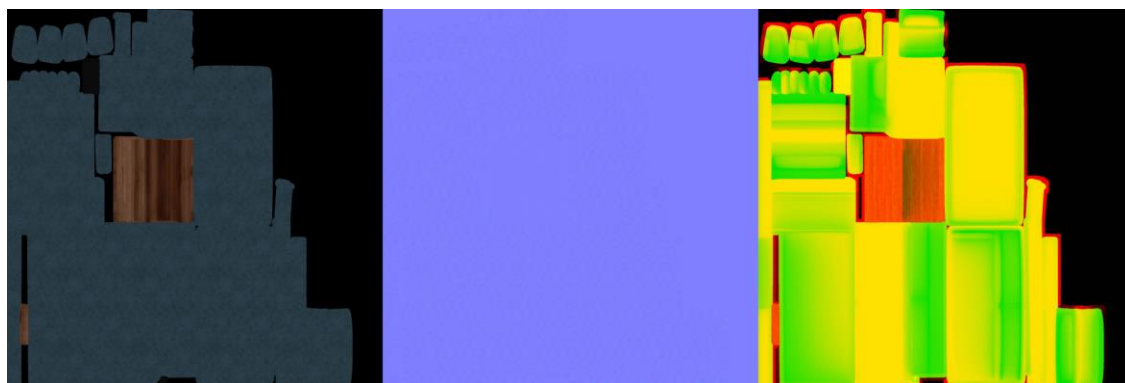


Рисунок 3.4 – отриманий набір текстур

Наступним кроком імпортуємо створений об'єкт у рушій. Для цього достатньо просто перетягти його у Content Browser.

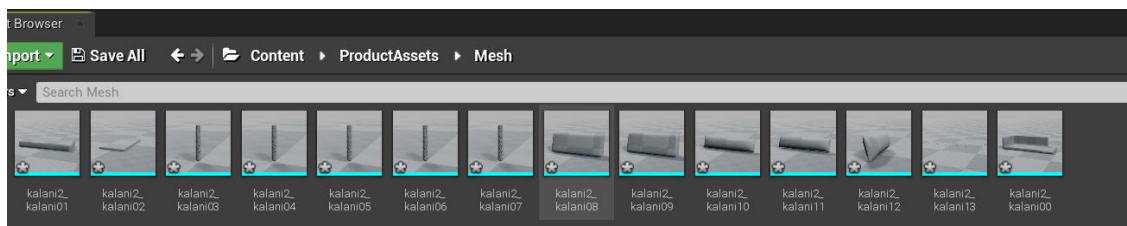
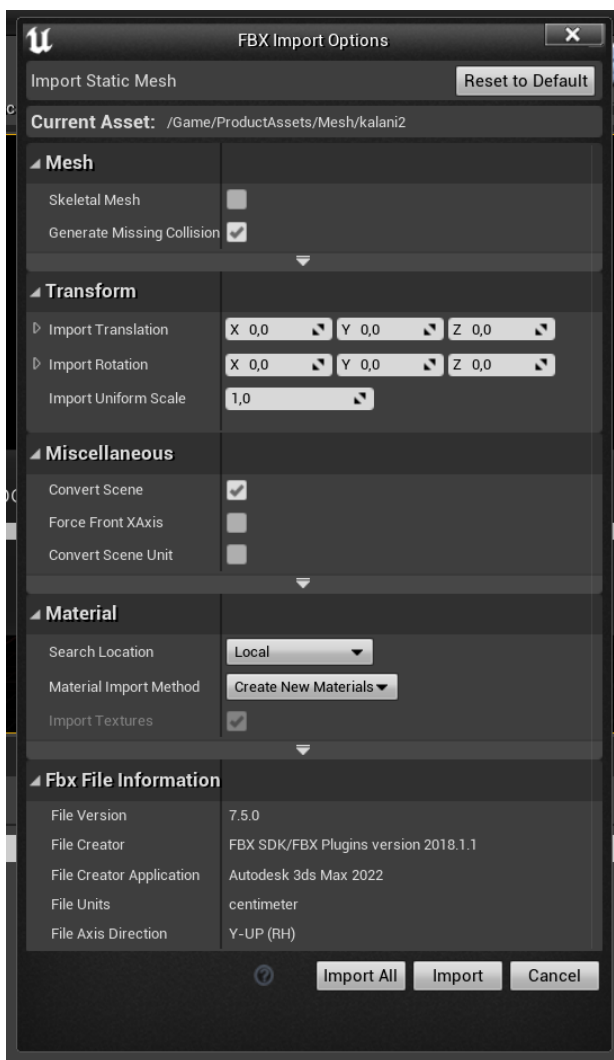


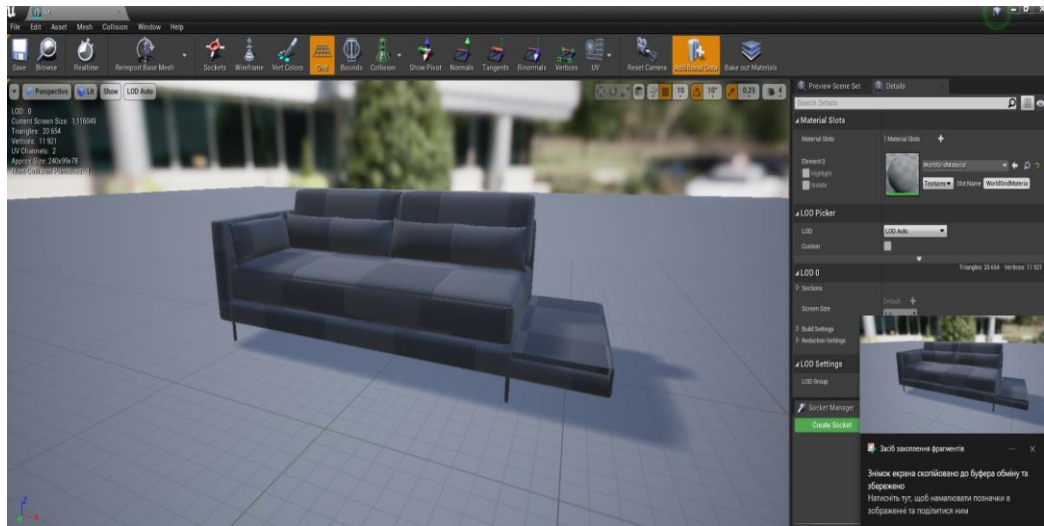
Рисунок 3.5 – браузер об'єктів

При імпорті слід поставити галку на генерацію колізії, а також на створення нового пустого слоту для матеріалу. У даному випадку буде достатньо лише одного, адже ми пекли усі текстури на єдиний UV тайл. Проте бувають випадки коли цього може бути недостатньо. Тоді для кожного підоб'єкту слід створити власний з унікальним ID [1].



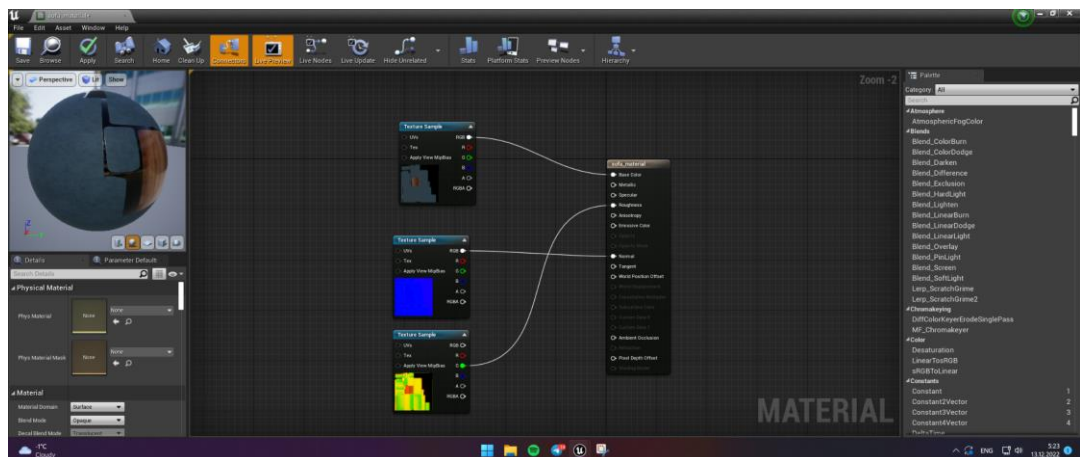
**Рисунок 3.6** – налаштування при імпорті мешу

Для перевірки можна клікнути на меш, якщо з ним все добре має відкритись вікно пререндеру і відобразити його з базовим матеріалом.



**Рисунок 3.7** – меш з базовим матеріалом

Далі необхідно перейти в директорію Content\ProductAsset\Materials та завантажити набір текстур. Після цього знаходимо створений при імпорті матеріал sofa\_material та клікаємо на нього. Вантажимо туди необхідні текстури та налаштовуємо матеріал. Зліва є пре-рендер тож відразу можна себе перевірити.



**Рисунок 3.8** – налаштування матеріалу

Після подібних маніпуляцій можна відкрити створений асет і переконатись що все коректно працює.

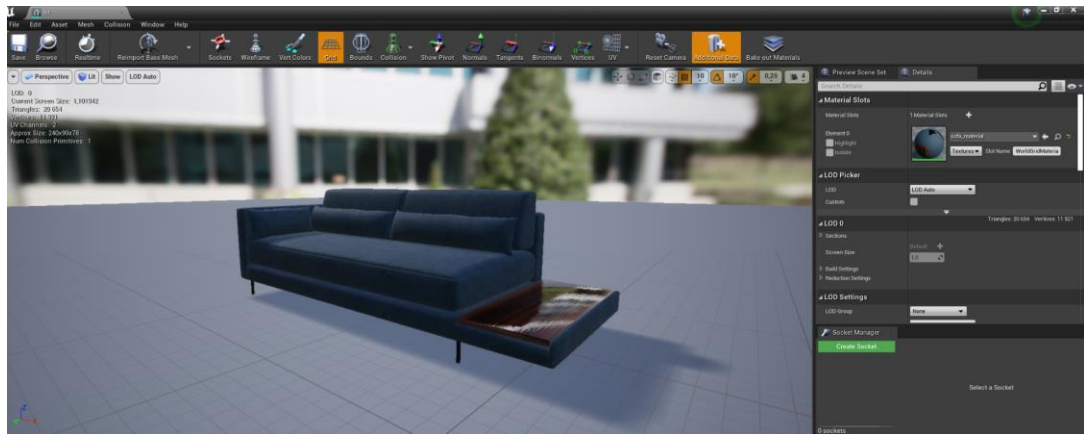


Рисунок 3.9 – налаштований асет

### 3.2 Створення логіки додатку

Створюватись логіка буди за допомогою влаштованої в рушій технології Blueprint. Основних класів два : BP\_ARPawn та BP\_ARPlayer\_Controller, а також структура ENUM\_GESTURE для переліку дій користувача. Клас BP\_ARPlayer досить простий. Він містить дві ноди, які відповідають за зчитування дій та їх припинення.

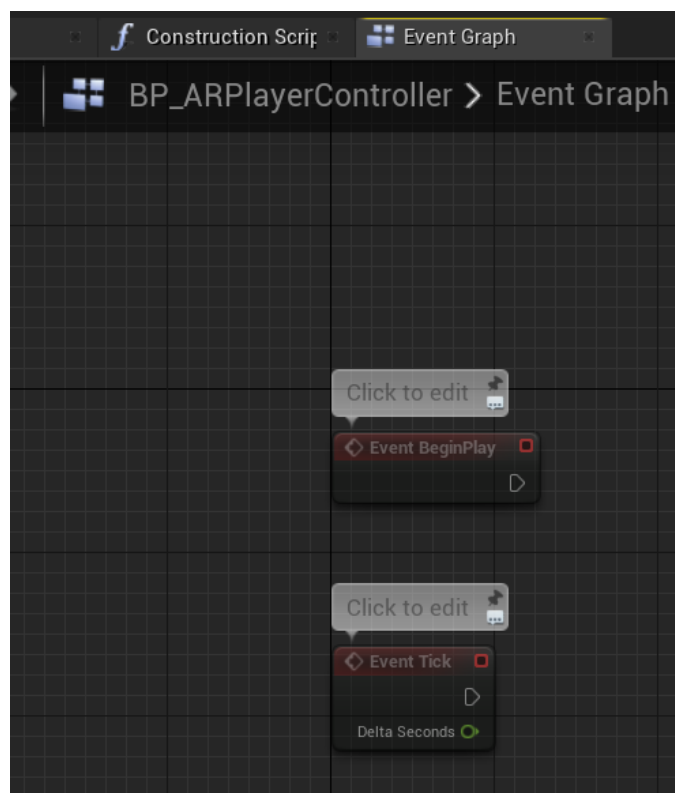
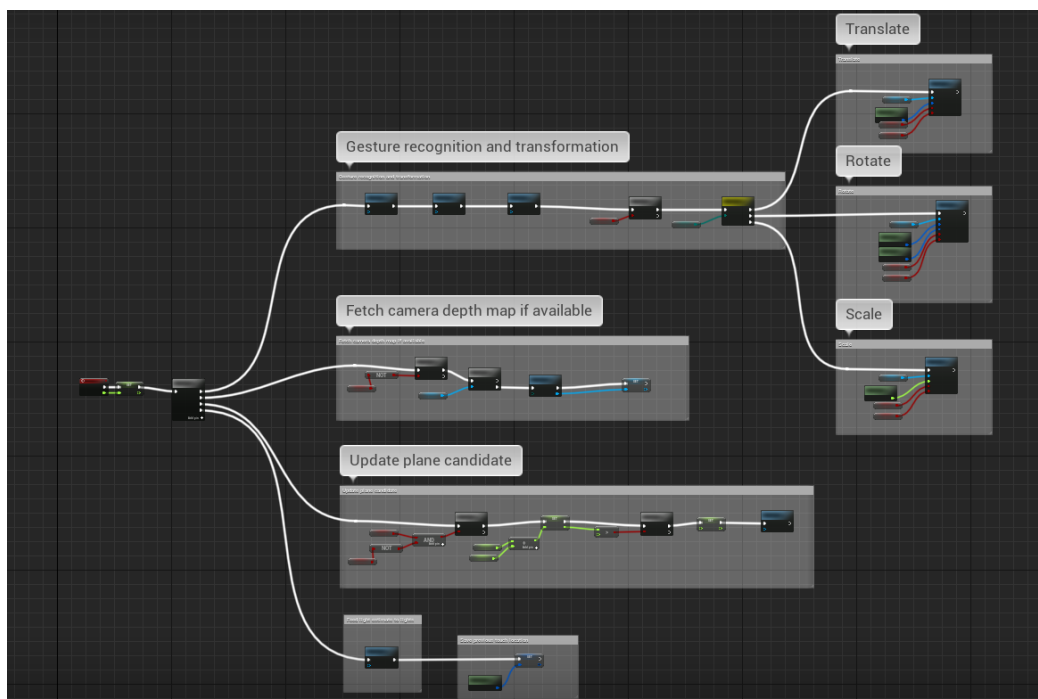


Рисунок 3.10 – клас BP\_ARPlayer

У наступному класі BP\_ARPawn створимо конструкцію, яка відповідатиме за:

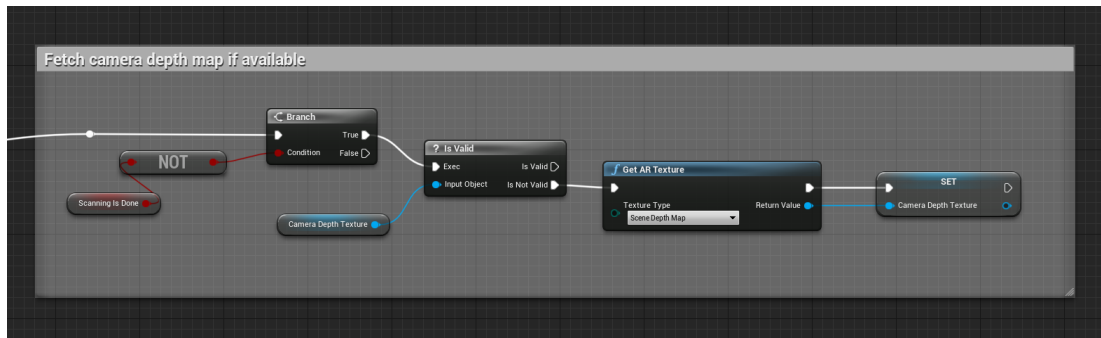
- сканування середовища
- постановку камери у просторі та лісенер, який її оновлюватиме
- лісенер, що відповідатиме за трансформацію візуалізованої моделі
- затінення побудованої моделі



**Рисунок 3.11** – загальний граф класу BP\_ARPawn

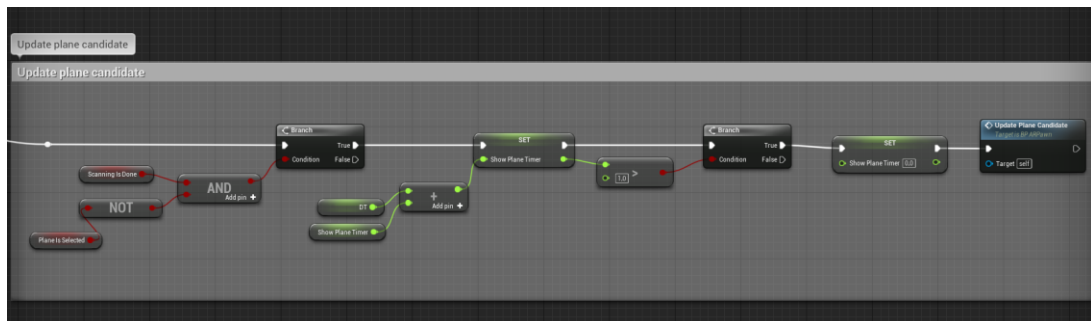
Першим кроком створюємо секвенцію станів та прив'язуємо їх до лісенера(event tick). Подібна конструкція дає можливість програмі виконувати та оновлювати свої блоки паралельно один від одного.

Fetch camera depth map if available - блок класу, мета якого отримати карту глибини, яка необхідна для побудови plane(площина, що відповідатиме навколишньому середовищу, і на якій будуватиметься сам об'єкт).



**Рисунок 3.12** - Fetch camera depth map

Update plane candidate – блок класу що відповідає за знаходження площини побудови об’єкту. Якщо сканування відбулось та площину не обрано то запускається таймер в 1 секунду. Після закінчення часу обирається остання знайдена площина, в іншому разі блок повториться.



**Рисунок 3.13** – Update plane candidate

Gesture recognition and transformation – відповідає за зчитування та розпізнавання жестів, які необхідні для коректної трансформації об’єкту у просторі. У разі активації скидається стан на значення default. Далі програма визначає чи це одиночний дотик чи подвійний. Одиночний дотик відповідає за спавн візуалізованого об’єкту у просторі. У цьому випадку використовується лише зчитування події touch. Подвійні дотики необхідні для обертання та скейлінгу. У першому випадку фіксується дві події: touch та finger direction. Перша визначає початок вектору який задаватиме напрям обертання, а finger direction його відслідковує. В результаті створюється оберт візуалізованого об’єкту навколо своєї осі у напрямку трансформованого на побудовану

поверхню об'єкту. Скейлінг же зчитує довжину обох рівнозначних векторів та збільшує об'єкт, поки умова буде виконуватись. За це відповідає нода Set Placeable Scale.

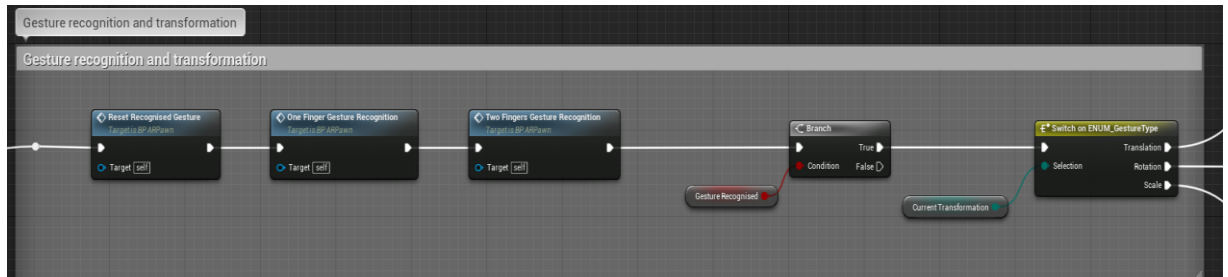


Рисунок 3.14 - Gesture recognition and transformation

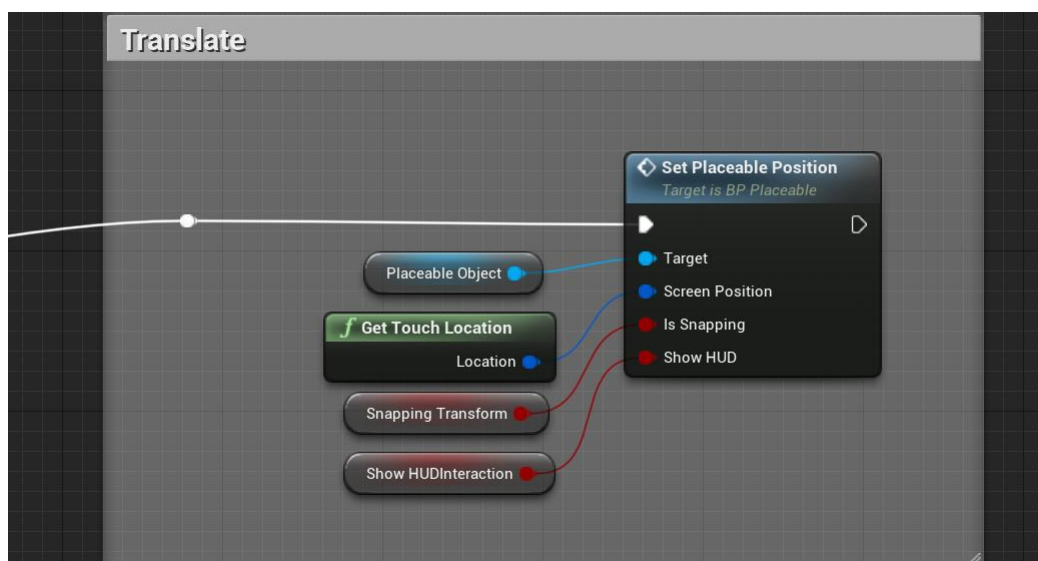


Рисунок 3.15 - модуль створення об'єкту



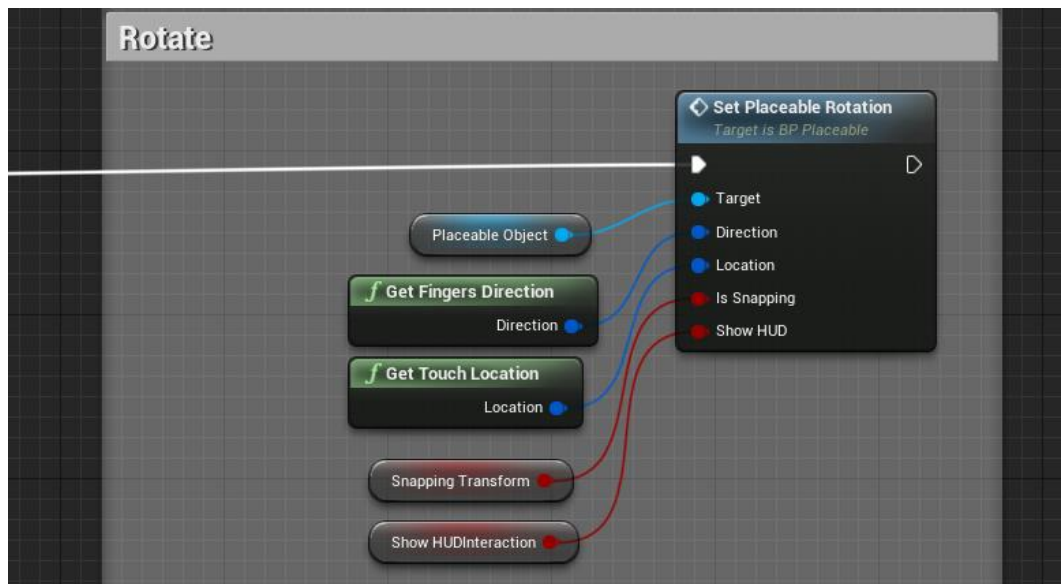


Рисунок 3.16 - модуль обертання

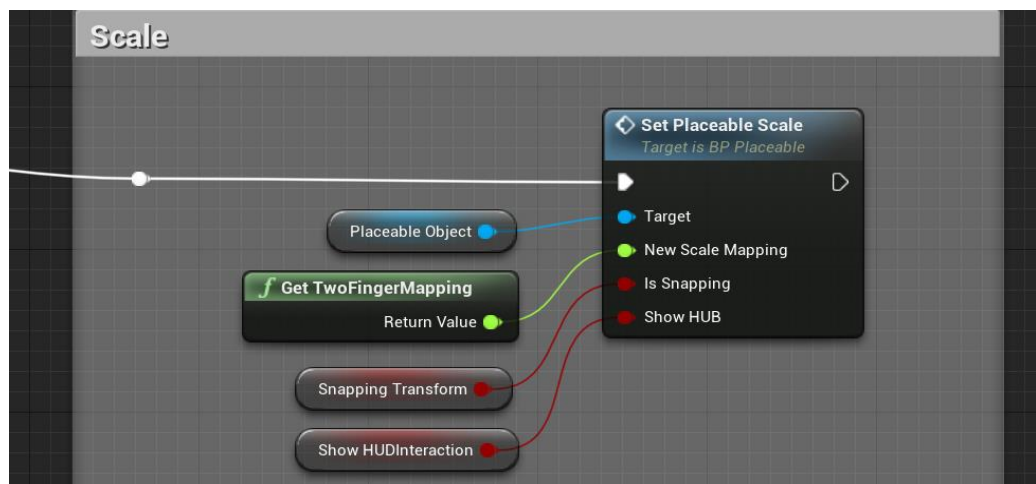


Рисунок 3.17 - модуль зміни розміру

Розглянемо конструкції, які відповідають за зчитування жестів, а саме one finger action та two finger action.

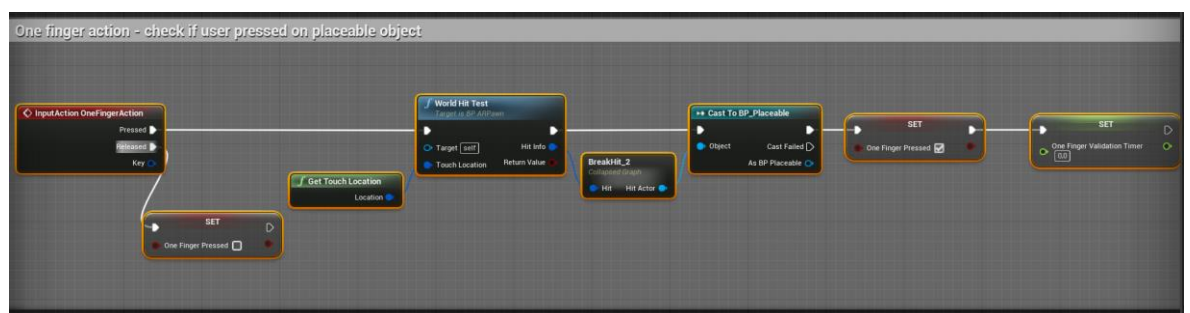


Рисунок 3.18 - one finger action



Спочатку програма фіксує натиск – одиничний жест, після чого викликає ноду World hit test та передає координати жесту до ноди Breaking\_Hit2. У разі завершення дотику координати пов'язуються з об'єктом візуалізації та передаються до ноди Cast to BP\_Placeable. Результатом є побудова об'єкту та перехід до первинного стану.

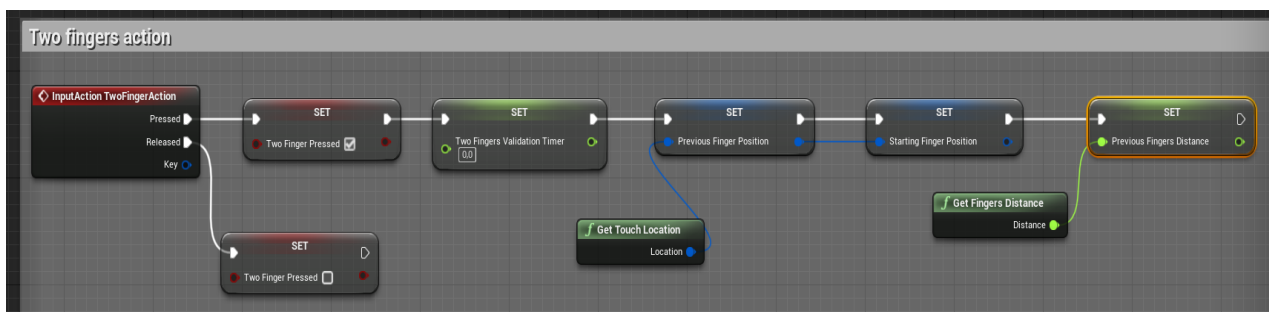


Рисунок 3.19 - two fingers action

У даному випадку програма фіксує подвійний натиск. У разі якщо це дійсність то перевіряється минула та початкова координата touch. У разі рівності визначається поле Touch Location, необхідне для обертання. У іншому ж випадку встановлюється значення Fingers Distance, яке визначає ступінь збільшення візуалізованого об'єкту.

Розглянемо клас Place\_object, який відповідальний як за первинну побудову об'єкту, так і за її оновлення у разі сценаріїв із жєстами.

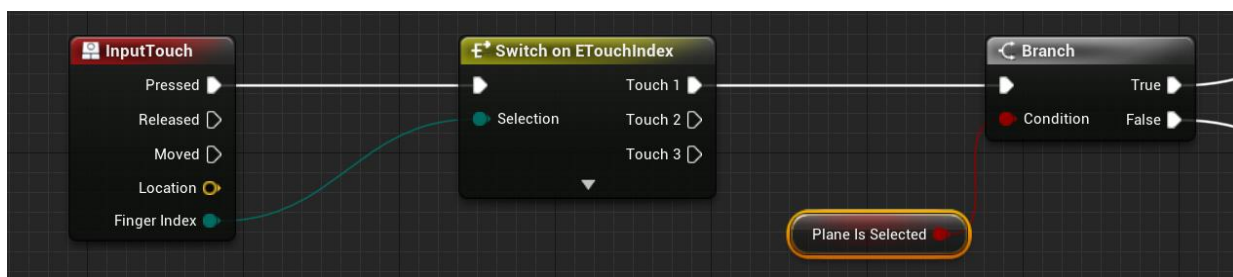


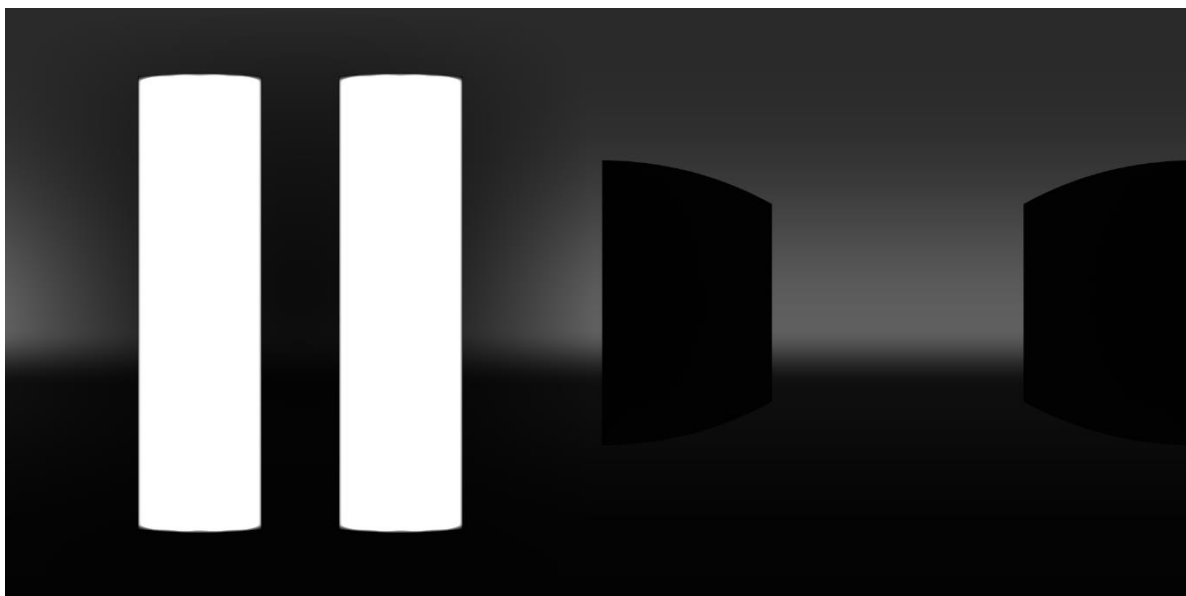
Рисунок 3.20 - place\_object

Першим кроком відбувається перевірка натискання: якщо це дотик та їх кількість рівна 1 то відбувається наступна перевірка : чи визначено площину побудови. Якщо значення рівне false то переходимо до модулю BP Plane Selected.



Після побудови оновлюються значення Selected Plane а Object is placed отримує значення true.

Процес освітлення та затінення моделі відбувається за результатами Depth map та заготовленої HDRI карти. HDRI карта - (High Dynamic Range Image) текстура з високим динамічним діапазоном, націлена для імітації освітлення навколишнього середовища.



**Рисунок 3.24** - приклад HDRI карти

За допомогою AR Core та можливості аналізу освітленості сканованого простору додаток може змінювати яскравість цієї текстури.

Для порівняння приведемо деякі створені блюпринти до C++ коду.

```

void ABP_ARPawn_C__pf104685423::bpf__ExecuteUbergraph_BP_ARPawn__pf_1(int32 bpp__EntryPoint__pf)
{
    bool bpfv__CallFunc_Greater_FloatFloat_ReturnValue__pf{};
    float bpfv__CallFunc_GetInputAxisValue_ReturnValue__pf{};
    UARTexture* bpfv__CallFunc_GetARTexture_ReturnValue__pf{};
    bool bpfv__CallFunc_IsValid_ReturnValue__pf{};
    bool bpfv__CallFunc_Not_PreBool_ReturnValue_1__pf{};
    float bpfv__CallFunc_Add_FloatFloat_ReturnValue__pf{};
    bool bpfv__CallFunc_BooleanAND_ReturnValue__pf{};
    bool bpfv__CallFunc_Not_PreBool_ReturnValue_2__pf{};
    TArray< int32, TInlineAllocator<8> > __StateStack;

    int32 __CurrentState = bpp__EntryPoint__pf;
    do
    {
        switch( __CurrentState )
        {
            case 25:
            {
                bpfv__CallFunc_Greater_FloatFloat_ReturnValue__pf = UKismetMathLibrary::Greater_FloatFloat(bpv__ShowPlaneTimer__pf, 1.000000);
                if (!bpfv__CallFunc_Greater_FloatFloat_ReturnValue__pf)
                {
                    __CurrentState = (__StateStack.Num() > 0) ? __StateStack.Pop(/*bAllowShrinking=*/ false) : -1;
                    break;
                }
            }
            case 26:
            {
                bpv__ShowPlaneTimer__pf = 0.000000;
            }
            case 27:
            {
                bpf__UpdatePlaneCandidate__pf();
                __CurrentState = (__StateStack.Num() > 0) ? __StateStack.Pop(/*bAllowShrinking=*/ false) : -1;
                break;
            }
            case 31:
            {
                __CurrentState = 32;
                break;
            }
            case 32:
            {
                bpv__DT__pf = b01__K2Node_Event_DeltaSeconds__pf;
            }
        }
    }
}

```

Рисунок 3.25 - код класу AR\_Pawn(1)

```

case 33:
{
    __StateStack.Push(45);
    __StateStack.Push(43);
    __StateStack.Push(39);
}
case 34:
{
    bpf__ResetRecognisedGesture__pf();
}
case 35:
{
    bpf__OneFingerGestureRecognition__pf();
}
case 36:
{
    bpf__TwoFingersGestureRecognition__pf();
}
case 37:
{
    if (!bpv__GestureRecognised__pf)
    {
        __CurrentState = (__StateStack.Num() > 0) ? __StateStack.Pop(/*bAllowShrinking=*/ false) : -1;
        break;
    }
}
case 38:
{
    b01__K2Node_SwitchEnum_CmpSuccess_1__pf = UKismetMathLibrary::NotEqual_ByteByte(static_cast<uint8>(bpv__CurrentTransformation__pf), static_cast<uint8>(E__ENUM_GestureType__pf::NewEnumerator0));
    if (!b01__K2Node_SwitchEnum_CmpSuccess_1__pf)
    {
        __CurrentState = 47;
        break;
    }
    b01__K2Node_SwitchEnum_CmpSuccess_1__pf = UKismetMathLibrary::NotEqual_ByteByte(static_cast<uint8>(bpv__CurrentTransformation__pf), static_cast<uint8>(E__ENUM_GestureType__pf::NewEnumerator1));
    if (!b01__K2Node_SwitchEnum_CmpSuccess_1__pf)
    {
        __CurrentState = 48;
        break;
    }
    b01__K2Node_SwitchEnum_CmpSuccess_1__pf = UKismetMathLibrary::NotEqual_ByteByte(static_cast<uint8>(bpv__CurrentTransformation__pf), static_cast<uint8>(E__ENUM_GestureType__pf::NewEnumerator2));
    if (!b01__K2Node_SwitchEnum_CmpSuccess_1__pf)
    {
        __CurrentState = 49;
        break;
    }
    __CurrentState = (__StateStack.Num() > 0) ? __StateStack.Pop(/*bAllowShrinking=*/ false) : -1;
    break;
}
}

```

Рисунок 3.26 - код класу AR\_Pawn(2)

```

case 39:
{
    bpfv__CallFunc_Not_PreBool_ReturnValue_2__pf = UKismetMathLibrary::Not_PreBool(bpv__ScanningIsDone__pf);
    if (!bpfv__CallFunc_Not_PreBool_ReturnValue_2__pf)
    {
        __CurrentState = (__StateStack.Num() > 0) ? __StateStack.Pop(/*bAllowShrinking=*/ false) : -1;
        break;
    }
}

case 40:
{
    bpfv__CallFunc_IsValid_ReturnValue__pf = UKismetSystemLibrary::IsValid(bpv__CameraDepthTexture__pf);
    if (!bpfv__CallFunc_IsValid_ReturnValue__pf)
    {
        __CurrentState = 41;
        break;
    }
    __CurrentState = (__StateStack.Num() > 0) ? __StateStack.Pop(/*bAllowShrinking=*/ false) : -1;
    break;
}

case 41:
{
    bpfv__CallFunc_GetARTexture_ReturnValue__pf = UARBlueprintLibrary::GetARTexture(EARTTextureType::SceneDepthMap);
}

case 42:
{
    bpv__CameraDepthTexture__pf = bpfv__CallFunc_GetARTexture_ReturnValue__pf;
    __CurrentState = (__StateStack.Num() > 0) ? __StateStack.Pop(/*bAllowShrinking=*/ false) : -1;
    break;
}

case 43:
{
    bpfv__CallFunc_Not_PreBool_ReturnValue_1__pf = UKismetMathLibrary::Not_PreBool(bpv__PlaneIsSelected__pf);
    bpfv__CallFunc_BooleanAND_ReturnValue__pf = UKismetMathLibrary::BooleanAND(bpv__ScanningIsDone__pf, bpfv__CallFunc_Not_PreBool_ReturnValue_1__pf);
    if (!bpfv__CallFunc_BooleanAND_ReturnValue__pf)
    {
        __CurrentState = (__StateStack.Num() > 0) ? __StateStack.Pop(/*bAllowShrinking=*/ false) : -1;
        break;
    }
}

case 44:
{
    bpfv__CallFunc_Add_FloatFloat_ReturnValue__pf = UKismetMathLibrary::Add_FloatFloat(bpv__DT__pf, bpv__ShowPlaneTimer__pf);
    bpv__ShowPlaneTimer__pf = bpfv__CallFunc_Add_FloatFloat_ReturnValue__pf;
    __CurrentState = 25;
    break;
}

case 45:
{
    bpf__FeedLightEstimate__pf();
}

```

Рисунок 3.27 - код класу AR\_Pawn(3)

```

case 46:
{
    bpf_GetTouchLocation__pf( /*out*/ bbl__CallFunc_GetTouchLocation_Location_6__pf);
    bpv__PreviousFingerPosition__pf = bbl__CallFunc_GetTouchLocation_Location_6__pf;
    __CurrentState = (__StateStack.Num() > 0) ? __StateStack.Pop(/*bAllowShrinking=*/ false) : -1;
    break;
}

case 47:
{
    bpf_GetTouchLocation__pf( /*out*/ bbl__CallFunc_GetTouchLocation_Location_2__pf);
    if (!IsValid(bpv__PlaceableObject__pf))
    {
        FPinConvertedWrapper_ABP_Placeable_C_pf231924168(bpv__PlaceableObject__pf).bpf_SetPlaceablePosition__pf(bbl__CallFunc_GetTouchLocation_Location_2__pf, bpv__SnappingTransform__pf, bpv__ShowHUDInteraction__pf);
    }
    __CurrentState = (__StateStack.Num() > 0) ? __StateStack.Pop(/*bAllowShrinking=*/ false) : -1;
    break;
}

case 48:
{
    bpf_GetFingersDirection__pf( /*out*/ bbl__CallFunc_GetFingersDirection_Direction__pf);
    bpf_GetTouchLocation__pf( /*out*/ bbl__CallFunc_GetTouchLocation_Location_4__pf);
    if (!IsValid(bpv__PlaceableObject__pf))
    {
        FPinConvertedWrapper_ABP_Placeable_C_pf231924168(bpv__PlaceableObject__pf).bpf_SetPlaceableRotation__pf(bbl__CallFunc_GetFingersDirection_Direction__pf, bbl__CallFunc_GetTouchLocation_Location_4__pf, bpv__SnappingTransform__pf, bpv__ShowHUDInteraction__pf);
    }
    __CurrentState = (__StateStack.Num() > 0) ? __StateStack.Pop(/*bAllowShrinking=*/ false) : -1;
    break;
}

case 49:
{
    bpfv__CallFunc_GetInputAxisValue_ReturnValue__pf = AActor::GetInputAxisValue(FName(TEXT("TwoFingerMapping")));
    if (!IsValid(bpv__PlaceableObject__pf))
    {
        FPinConvertedWrapper_ABP_Placeable_C_pf231924168(bpv__PlaceableObject__pf).bpf_SetPlaceableScale__pf(bpfv__CallFunc_GetInputAxisValue_ReturnValue__pf, bpv__SnappingTransform__pf, bpv__ShowHUDInteraction__pf);
    }
    __CurrentState = (__StateStack.Num() > 0) ? __StateStack.Pop(/*bAllowShrinking=*/ false) : -1;
    break;
}

default:
{
    check(false); // Invalid state
    break;
}

while (__CurrentState != -1);

```

Рисунок 3.28 - код класу AR\_Pawn(4)

```

void ABP_ARPawn_C_pf104685423::bpf__ExecuteUbergraph_BP_ARPawn__pf_2(int32 bpp__EntryPoint__pf)
{
    APlayerController* bpfv__CallFunc_GetPlayerController_ReturnValue__pf{};
    UUserWidget* bpfv__CallFunc_Create_ReturnValue__pf{};
    check(bpp__EntryPoint__pf == 64);
    // optimized KCST_UnconditionalGoto
    bpfv__CallFunc_GetPlayerController_ReturnValue__pf = UGameplayStatics::GetPlayerController(this, 0);
    bpfv__CallFunc_Create_ReturnValue__pf = UWidgetBlueprintLibrary::Create(
        this, CastChecked<UClass>(CastChecked<UDynamicClass>(ABP_ARPawn_C_pf104685423::StaticClass())->UsedAssets[1],
        ECastCheckedType::NullAllowed), bpfv__CallFunc_GetPlayerController_ReturnValue__pf);
    bpv__MainMenu__pf = bpfv__CallFunc_Create_ReturnValue__pf;
    if (!IsValid(bpv__MainMenu__pf))
    {
        bpv__MainMenu__pf->UUserWidget::AddToViewport(0);
    }
    return; //KCST_EndOfThread
}

```

Рисунок 3.29 - код класу AR\_Pawn(5)

Як можна побачити зі скріншотів, модуль рушію Nativization Script відпрацьовує коректно, проте повертає шаблонний код. Із переваг : це надає розширений функціонал для створення проекту, тобто можна створювати власні незалежні ноди. Мінусом подібної технології є досить важкий для редагування код. У подібних досить легких додатках краще використовувати блюпринти, на швидкість роботи це ніяк не вплине.

### 3.3 Демонстрація роботи

Спробуємо за допомогою додатку помістити раніше створений диван на відскановану поверхню.

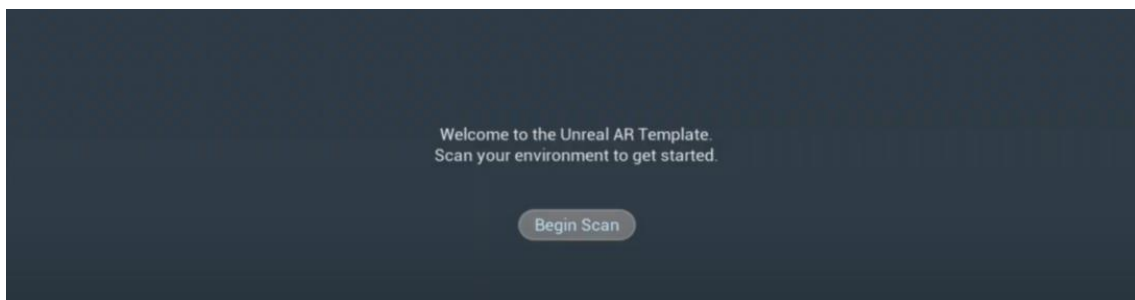


Рисунок 3.30 - початок роботи

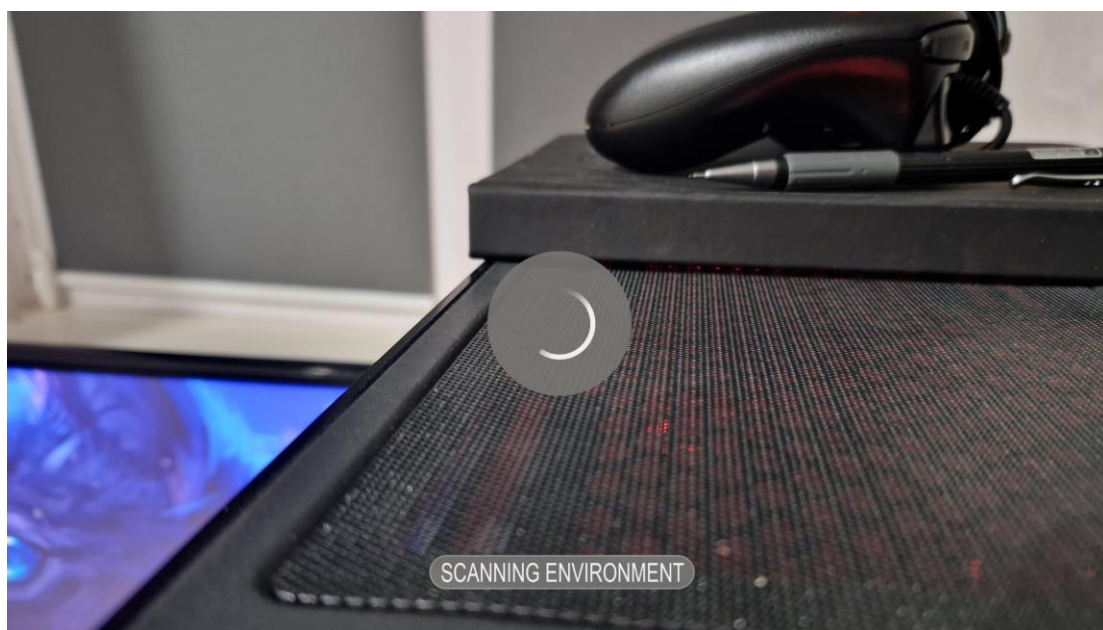


Рисунок 3.31 - сканування



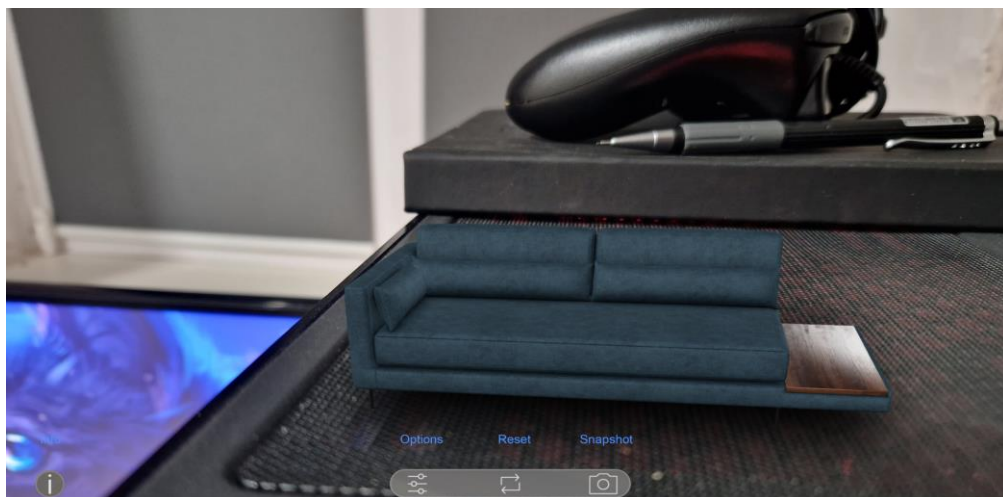


Рисунок 3.32 - візуалізація



Рисунок 3.33 - обертання



Рисунок 3.34 - скейлінг

У даній демонстрації був не задіяний модуль аналізу рівня освітленості. Модель отримала затінення за допомогою вище приведеної HDR карти. Як результат тіні під візуалізованим об'єктом є нейтральні, та немає якихось конкретного напрямлення. Проте навіть з базовими просити шейдерами візуалізація відбувається правильно. Усі налаштовані об'єкти виглядають аналогічно тим що були у редакторі.



## ВИСНОВОК

Результатом даної роботи стало створення демонстраційного інформаційного додатку для візуалізації 3D об'єкту в інтер'єрі з використанням технологій доповненої реальності.

Під час виконання даної роботи було проаналізовано історію створення як віртуальної так і доповненої реальності, та їх ключові відмінності, а саме те, що віртуальна реальність повністю замінює вже існуючу, а доповнена націлена збагатити та розширити її.

Було проаналізовано різні сфери використання подібної технології. Найбільш поширеною вона є у сфері маркетингу, освіти а також використовується під час розробки ігор.

Також було порівняно основні і найбільші ядра для розробки додатків доповненої реальності, а саме ARCore та ARKit. Вони досить схожі по своєму функціоналу, проте мають як свої переваги так і недоліки. Головна відмінність у таргетній платформі: ARCore розроблявся для платформи андроїд, хоча здатен працювати на IOS, але не навпаки.

Перед розробкою демонстраційного додатку було порівняно два основні рушії, які можуть вільно взаємодіяти з вище описаними API. Мова йде про Unreal Engine та Unity 3d. Ці рушії мають деякі спільні риси, як кросплатформеність, та чудову інтеграцію бібліотек для роботи з доповненою реальністю, проте сам процес розробки суттєво відрізняється.

Unity може працювати лише зі скриптами, що досить відчутно може сповільнювати роботу у недосвіченого фахівця. Також відрізняється налаштування шейдерів об'єкту. Крім того відсутній модуль інтеграції вже раніше створених gltf моделей.

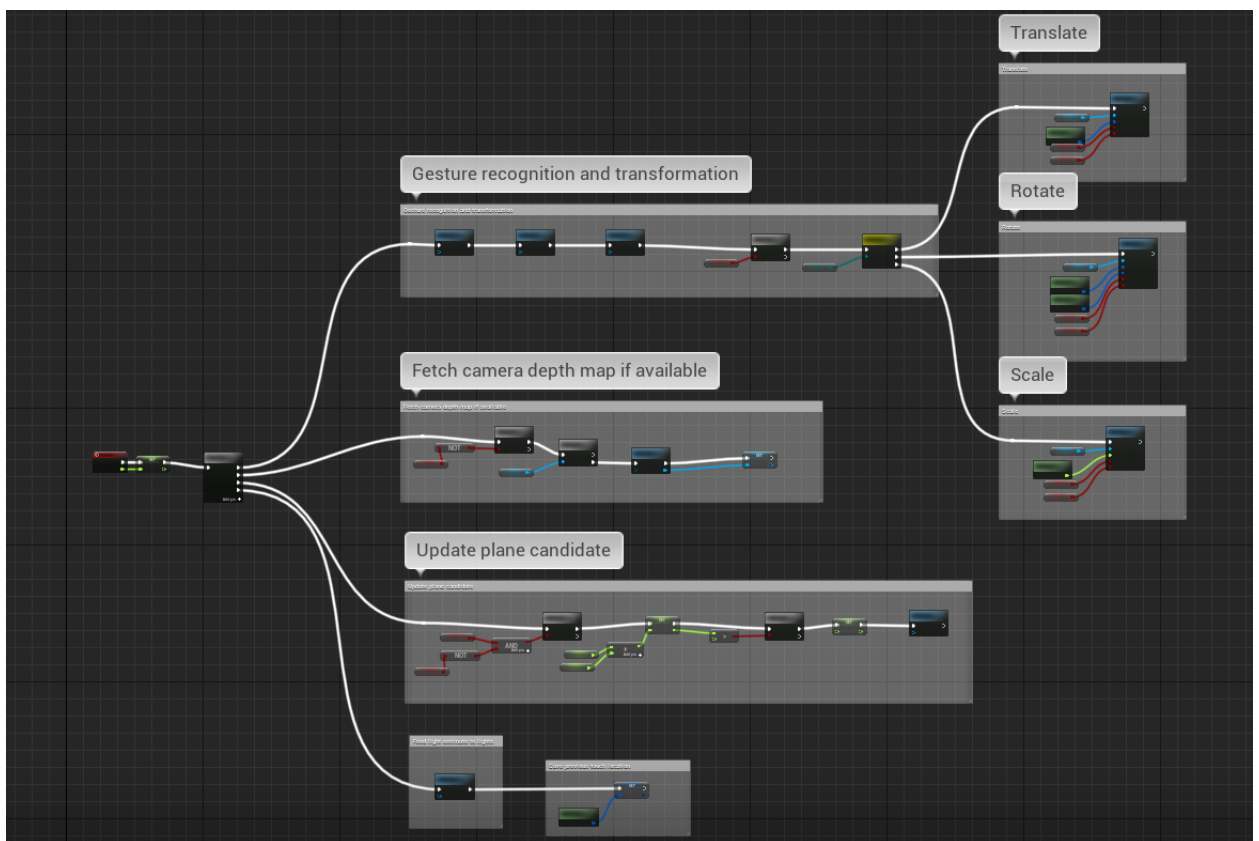
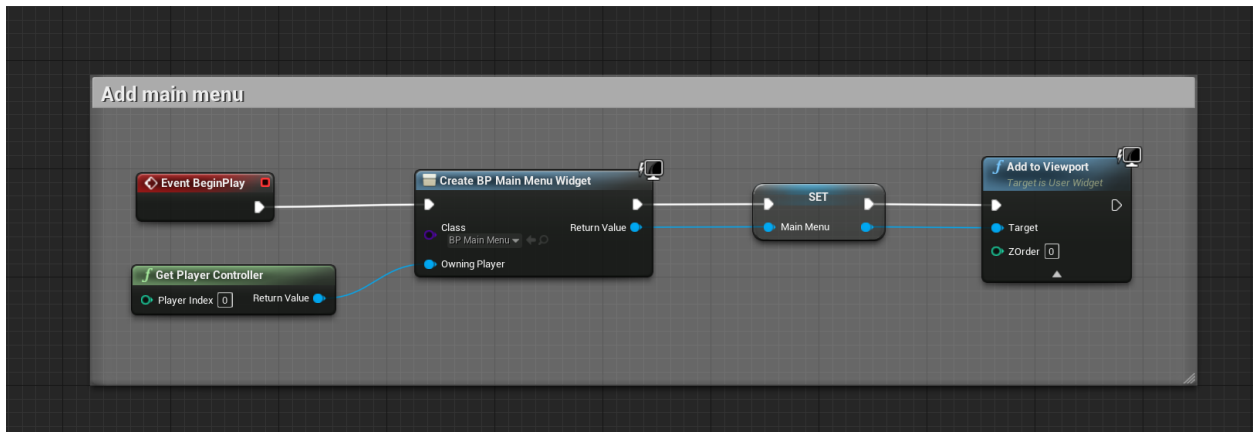
Unreal у цьому випадку має трохи інший пайплайн розробки додатків. Має безмежні можливості у покращенні графічних шейдерів. Та основна його перевага це технологія blueprint. Крім того її без суттєвих труднощів можна конвертувати у класичний C++ код. Це необхідно у разі написання власних

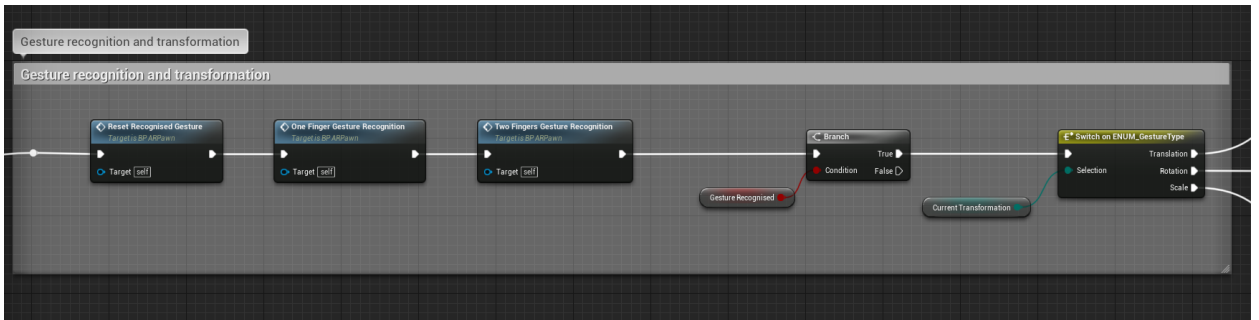
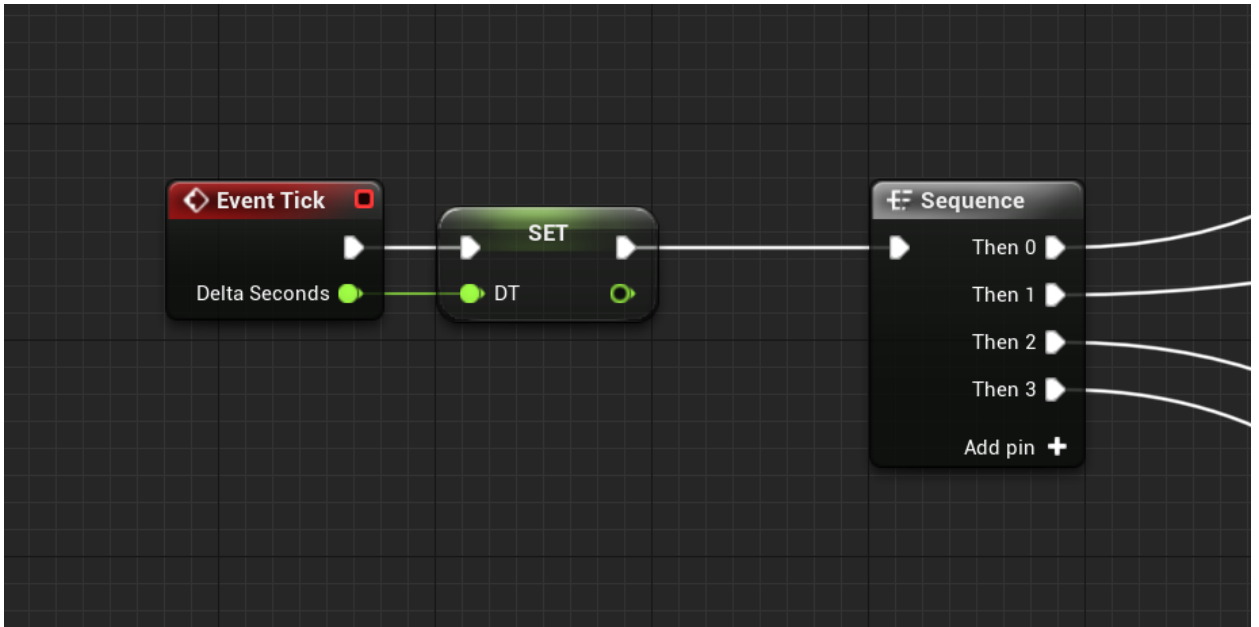
вузько направлених функцій, яких рушій немає. Крім того було порівняно блюпринти зі звичайним кодом. Основним мінусом є те, що код має шаблонну структуру, та погано підходить для редагування. До того ж використання технології blueprint не сказується на швидкості роботи додатку, лише на збірці та компіляції.

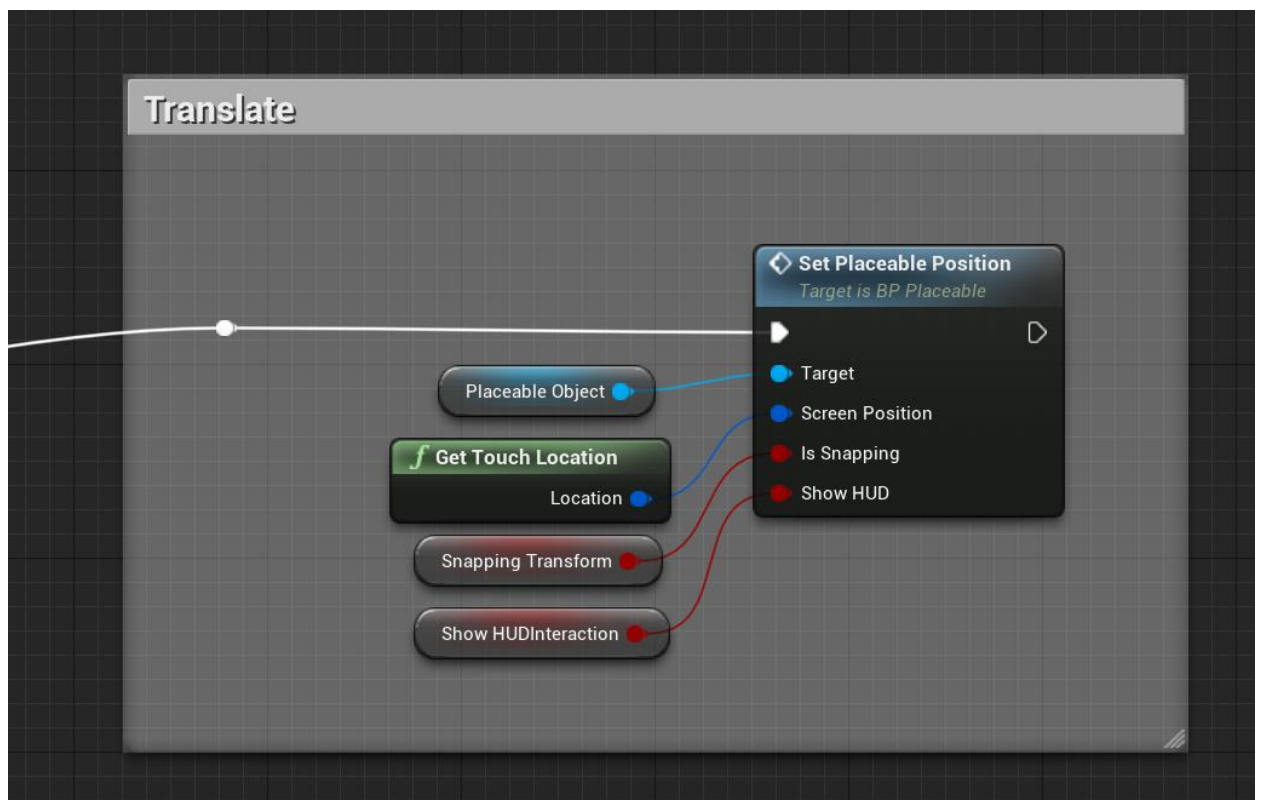
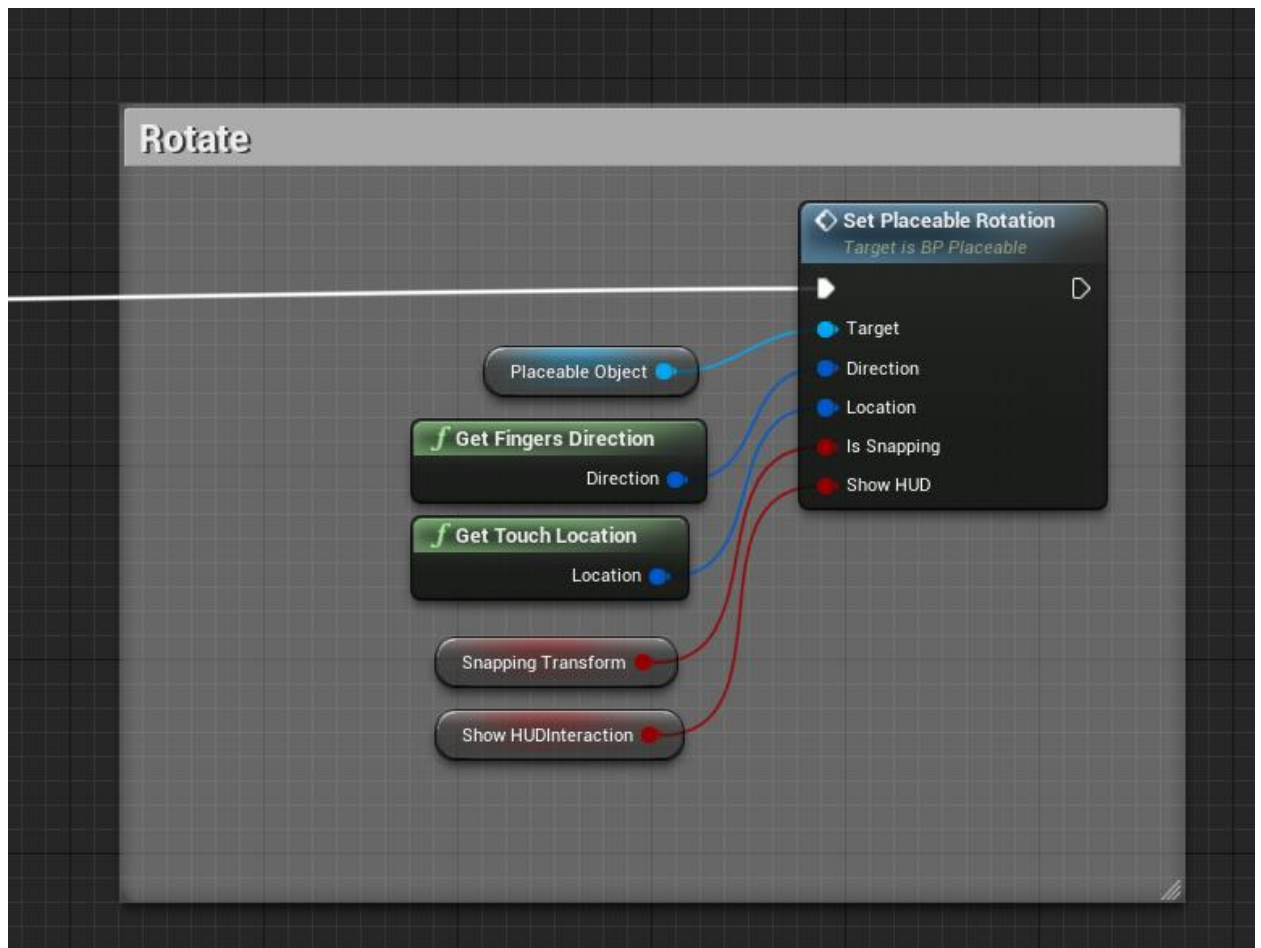
## СПИСОК ВИКОРИСТАНОЇ ЛІТЕРАТУРИ

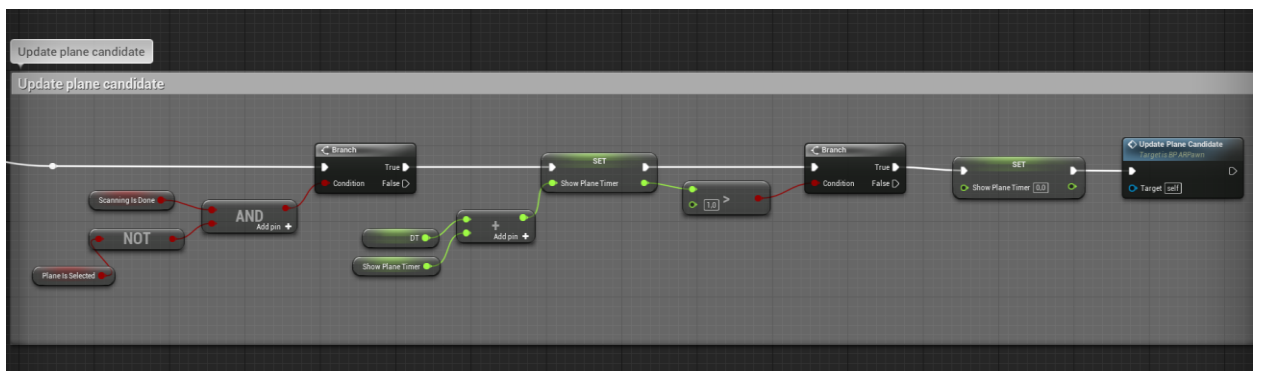
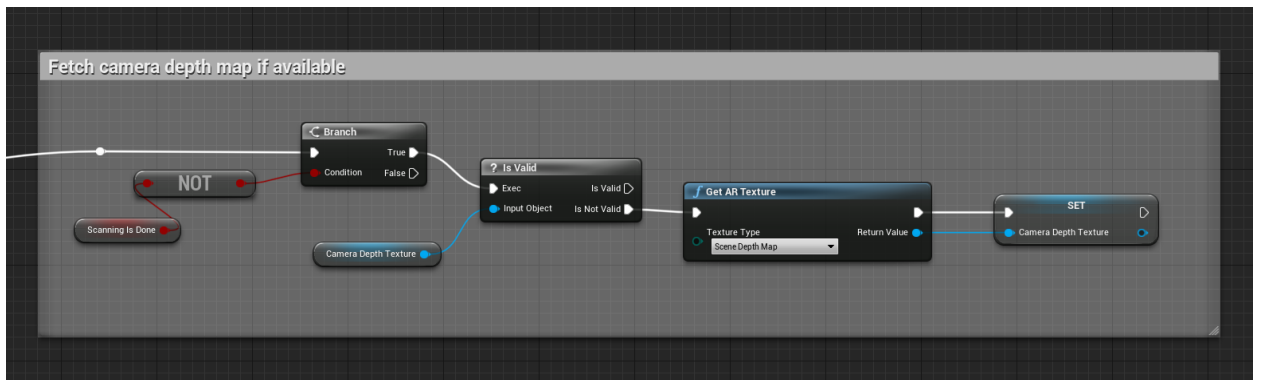
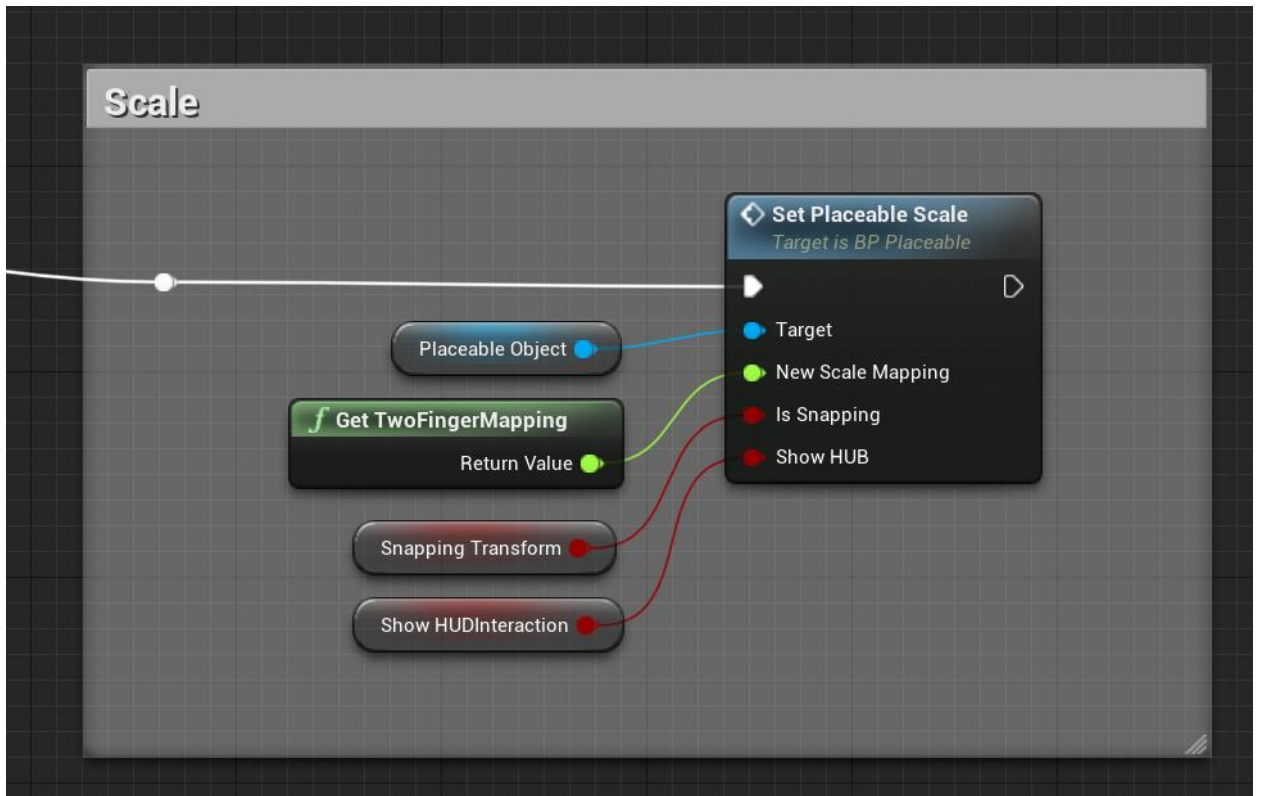
1. Epic games, “Unreal engine 4 documentation”, July 2011.
2. J. Carmigniani, B. Furht, M. Anisetti, P. Ceravolo, E. Damiani, M. Ivkovic, “Augmented reality technologies, systems and applications”, 2010
3. Wendy E. Mackay, “Augmented Reality: Linking real and virtual worlds A new paradigm for interacting with computers ”, Université de ParisSud
4. “Wikipedia. Unreal engine 4.” - [resource]: [https://en.wikipedia.org/wiki/Unreal\\_Engine](https://en.wikipedia.org/wiki/Unreal_Engine)
5. Sean Morey, John Tinnell: Augmented Reality Innovative Perspectives Across Art, Industry, and Academia
6. Mitch McCaffrey: Unreal® Engine VR Cookbook: Developing Virtual Reality with UE4
7. Трусів, Б.О. Комп'ютерна 3D-гра з використанням Unity Engine и C# [Текст]: робота на здобуття кваліфікаційного ступеня бакалавра; спец.: 122 - комп'ютерні науки (інформатика) / Б.О. Трусів; наук. кер. О.В. Шутілева. - Суми: СумДУ, 2021. - 45 с.
8. Mihael Lanham: Learn ARCore - Fundamentals of Google ARCore (2018)
9. Tom Shannon: Unreal Engine 4 for design visualization
10. Brenden Sewell: Blueprints Visual Scripting for Unreal Engine: Build professional 3D games with Unreal Engine 4's Visual Scripting system (2015)
11. Anthony Davis : Unity 3D Game Development: Designed for passionate game developers—Engineered to build professional games (2022)

## ДОДАТОК А

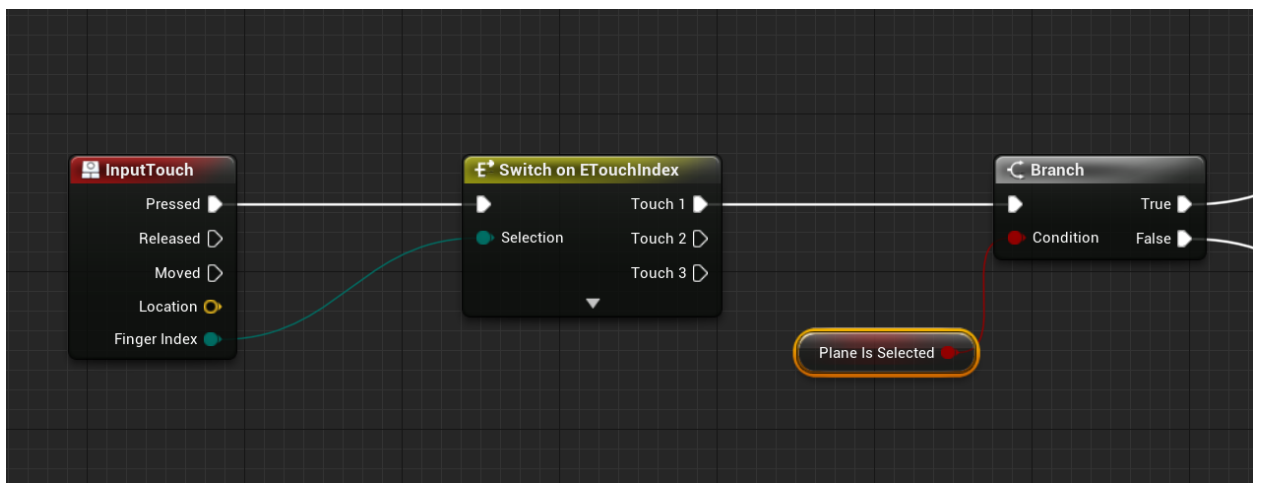
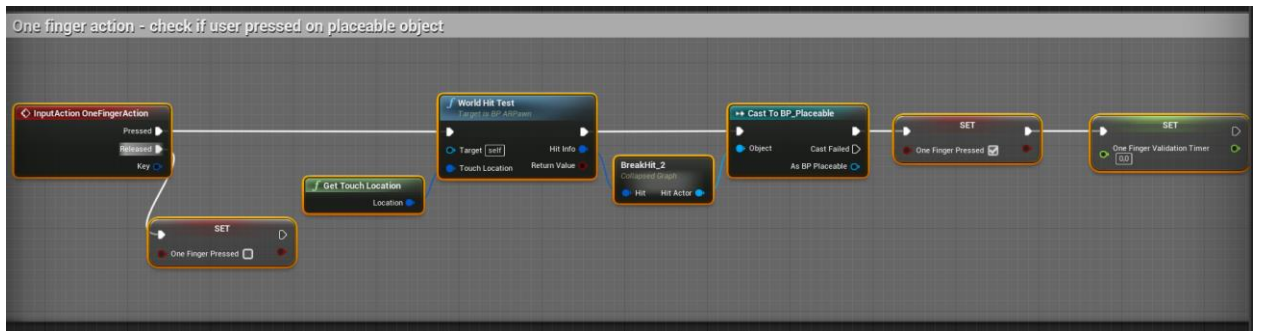
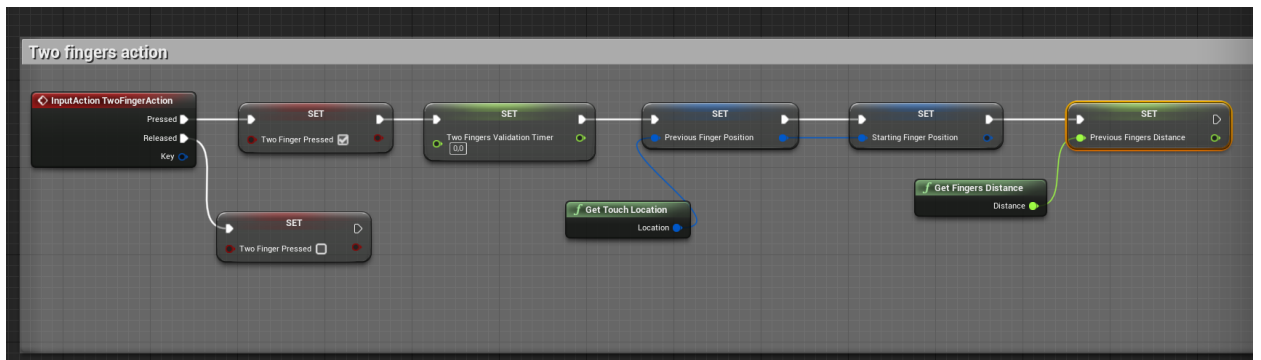
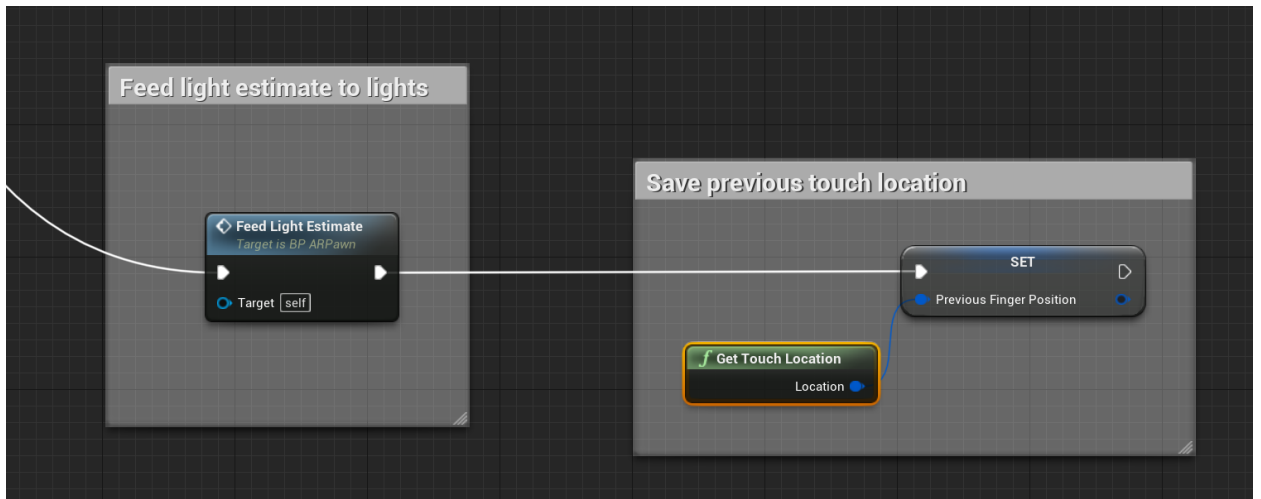


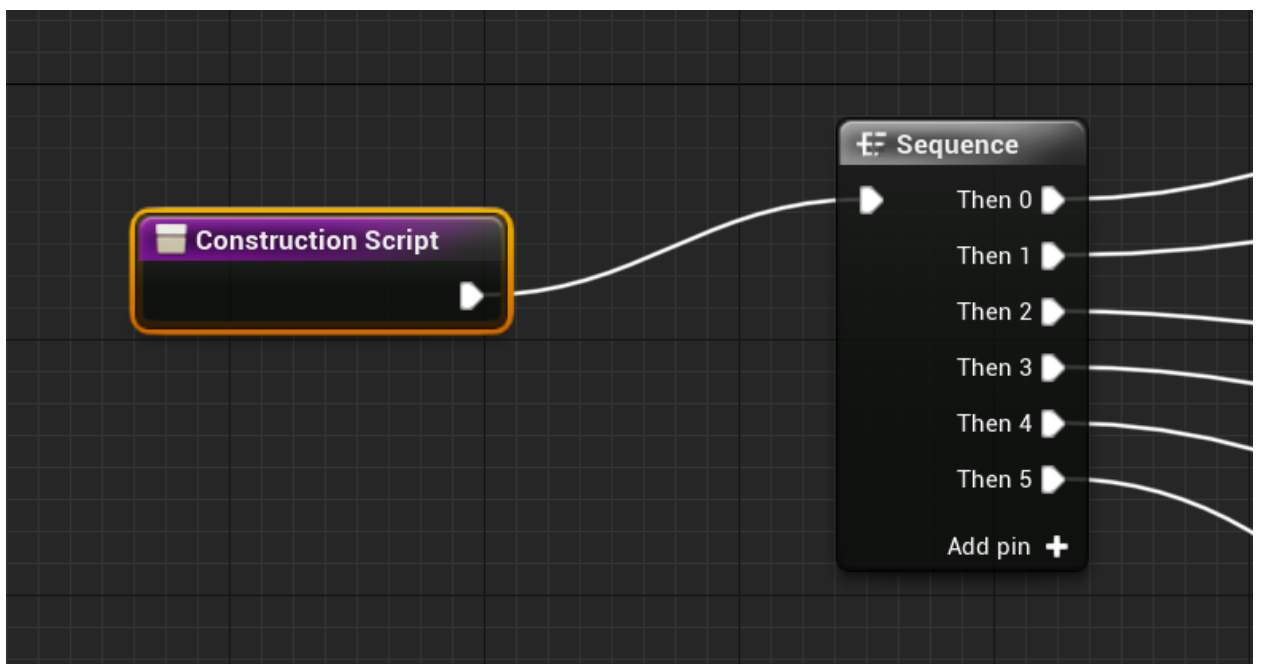
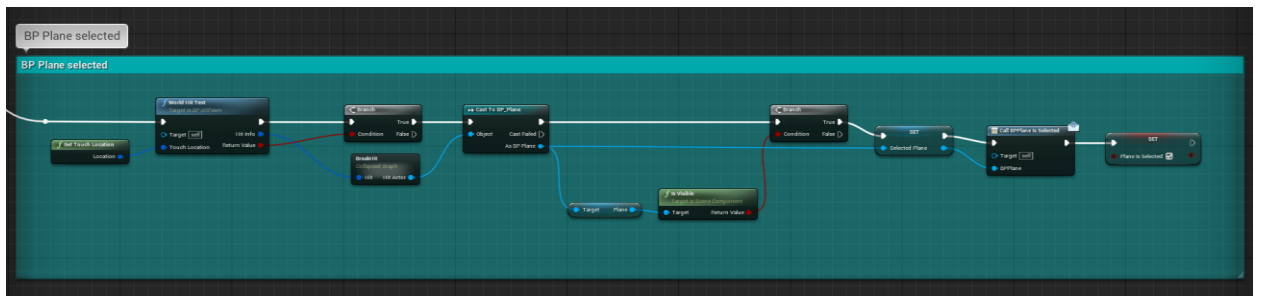
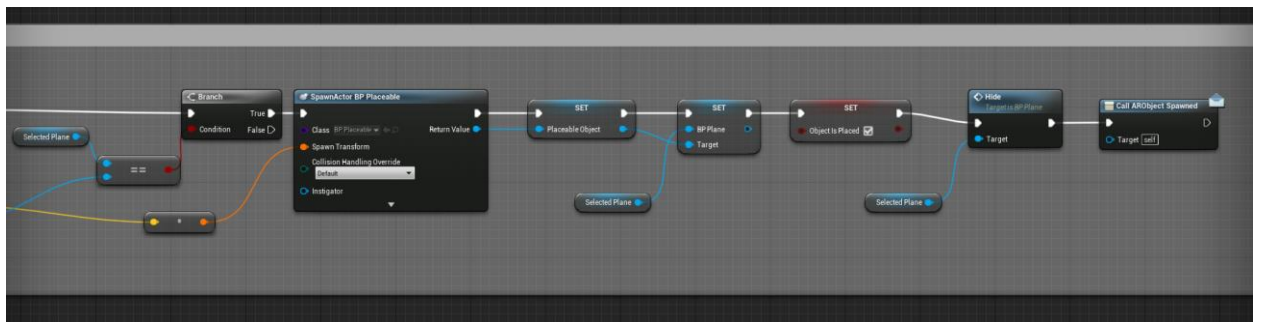
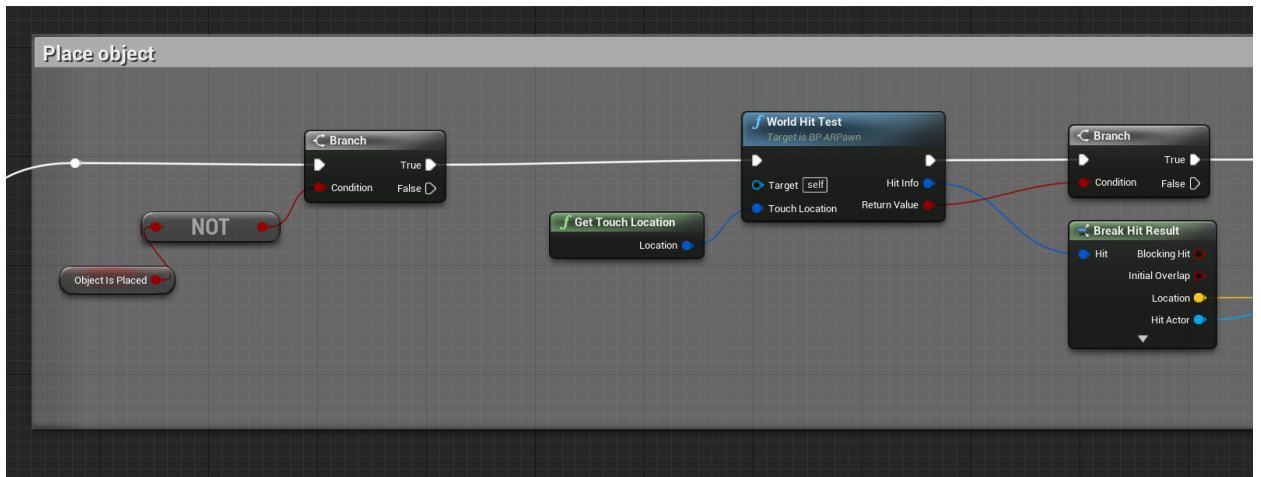


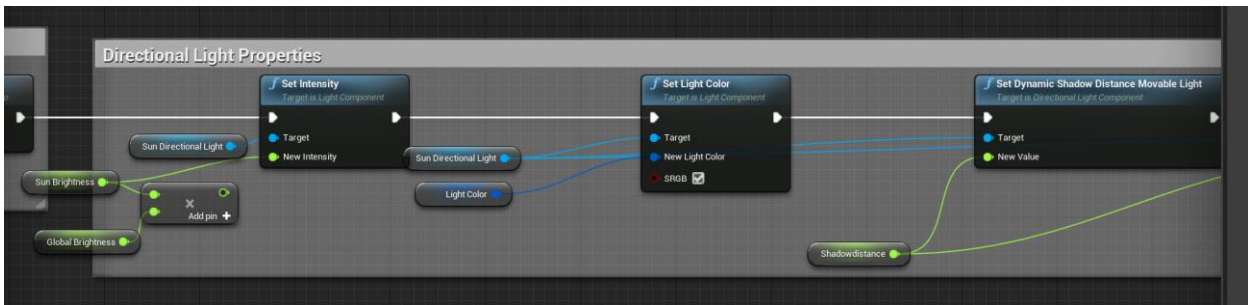
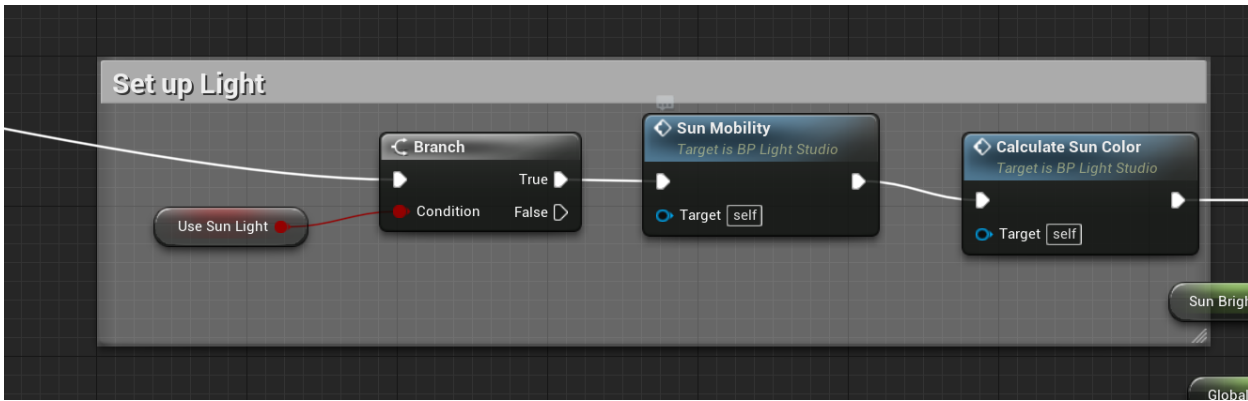
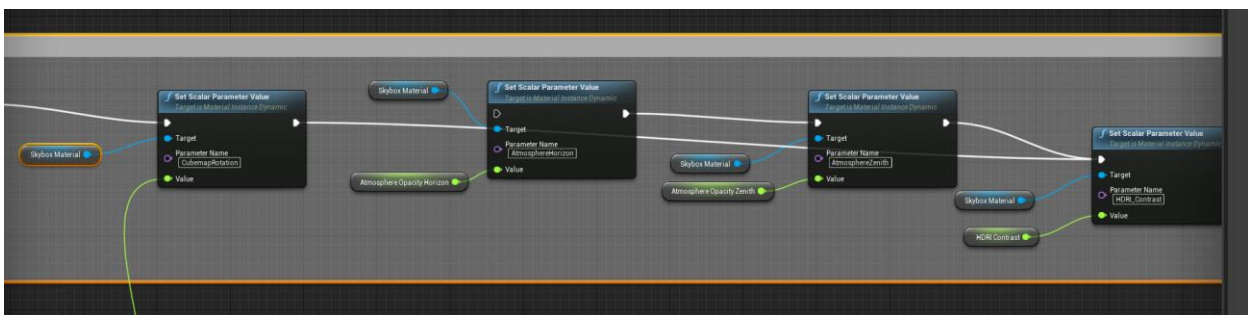
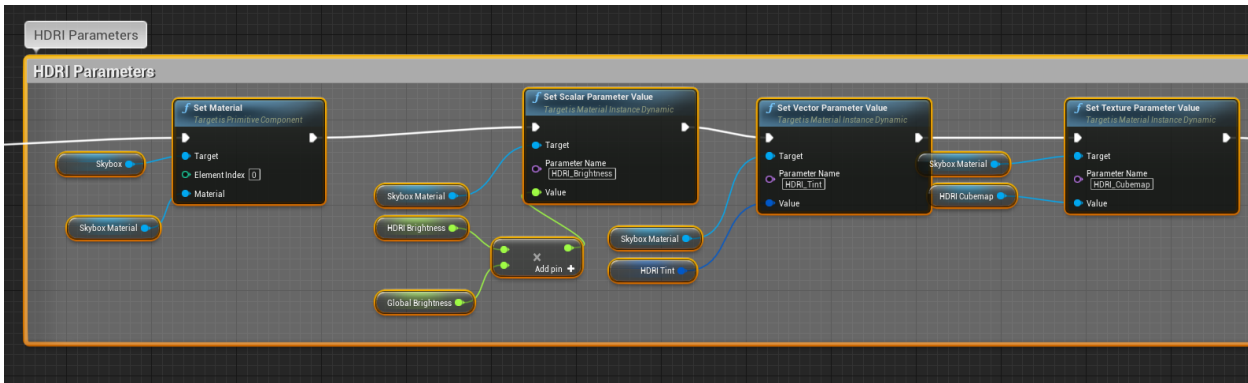
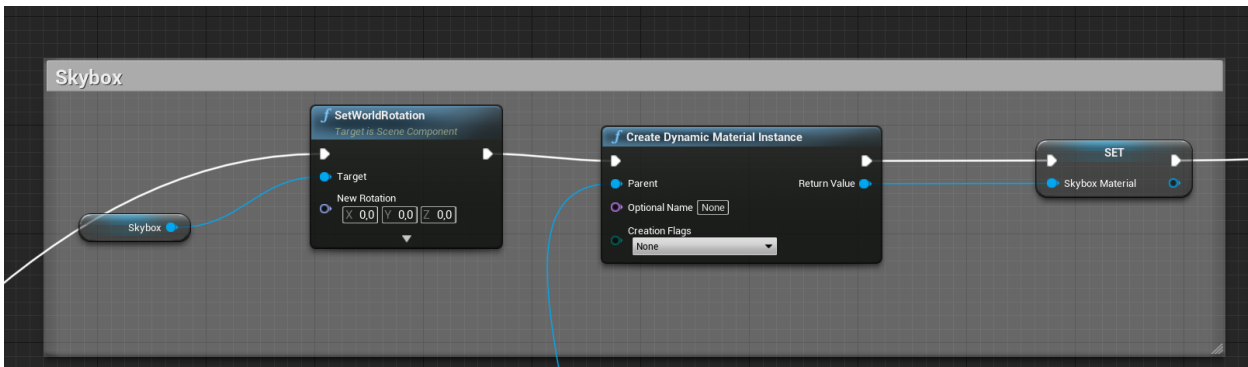


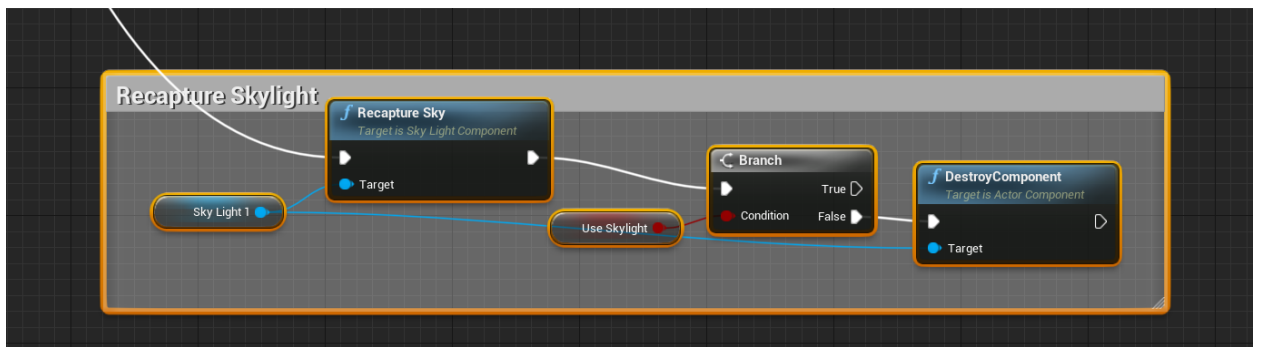
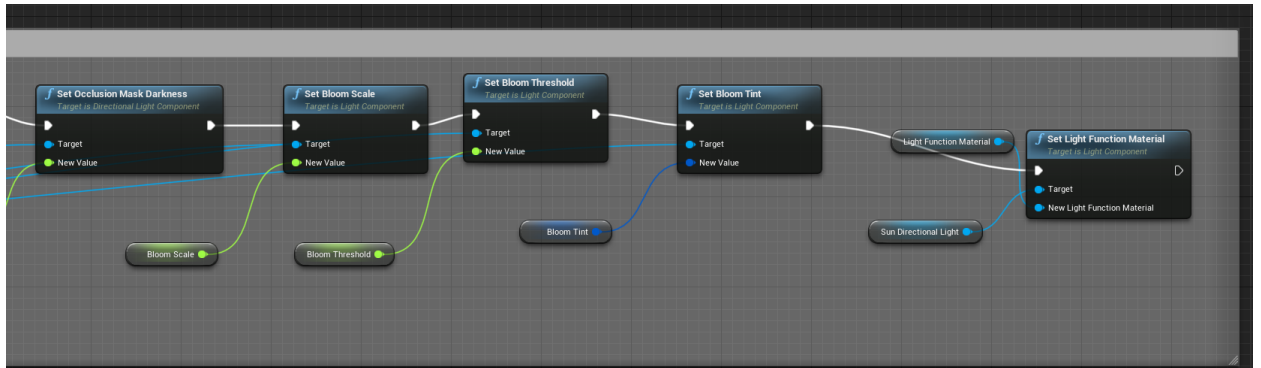
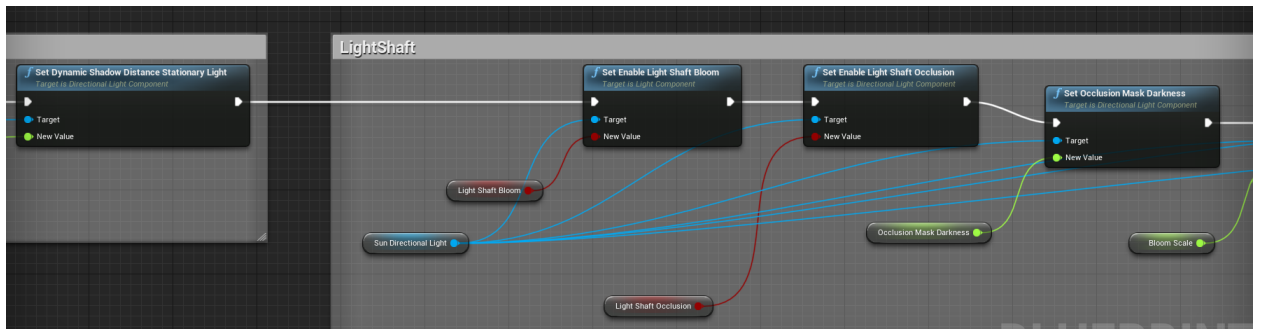












## ДОДАТОК Б

```

PRAGMA_DISABLE_DEPRECATED_WARNINGS
PRAGMA_DISABLE_OPTIMIZATION
ABP_ARGameMode_C_pf104685423::ABP_ARGameMode_C_pf104685423(const
FObjectInitializer& ObjectInitializer) : Super()
{
    bpv__DefaultSceneRoot__pf =
CreateDefaultSubobject<USceneComponent>(TEXT("DefaultSceneRoot"));
    RootComponent = bpv__DefaultSceneRoot__pf;
    bpv__DefaultSceneRoot__pf->CreationMethod =
EComponentCreationMethod::Native;
    static TWeakFieldPtr<FProperty> __Local__1{};
    const FProperty* __Local__0 = __Local__1.Get();
    if (nullptr == __Local__0)
    {
        __Local__0 = (UActorComponent::StaticClass())->
FindPropertyByName(FName(TEXT("bCanEverAffectNavigation")));
        check(__Local__0);
        __Local__1 = __Local__0;
    }
    ((FBoolProperty*)__Local__0)->
SetPropertyValue_InContainer((bpv__DefaultSceneRoot__pf), false,
0);

    DefaultPawnClass = ABP_ARPawn_C_pf104685423::StaticClass();
    ReplaySpectatorPlayerControllerClass =
ABP_ARPlayerController_C_pf104685423::StaticClass();
    auto& __Local__2 =
(* (AccessPrivateProperty<EActorUpdateOverlapsMethod >((this),
AActor::
__PPO__DefaultUpdateOverlapsMethodDuringLevelStreaming() ));
    __Local__2 = EActorUpdateOverlapsMethod::OnlyUpdateMovable;
}
PRAGMA_ENABLE_OPTIMIZATION
void
ABP_ARGameMode_C_pf104685423::PostLoadSubobjects (FObjectInstancin
gGraph* OuterInstanceGraph)
{
    Super::PostLoadSubobjects (OuterInstanceGraph);
    if (bpv__DefaultSceneRoot__pf)
    {
        bpv__DefaultSceneRoot__pf->CreationMethod =
EComponentCreationMethod::Native;
    }
}

```

```

..
PRAGMA_DISABLE_DEPRECATED_WARNINGS
PRAGMA_DISABLE_OPTIMIZATION
ABP_ARPawn_C_pf104685423::ABP_ARPawn_C_pf104685423(const
FObjectInitializer& ObjectInitializer) : Super(ObjectInitializer)
{
    bpv__DefaultSceneRoot__pf =
CreateDefaultSubobject<USceneComponent>(TEXT("DefaultSceneRoot"));
    bpv__Camera__pf = CreateDefaultSubobject<UCameraComponent>
(TEXT("Camera"));
    RootComponent = bpv__DefaultSceneRoot__pf;
    bpv__DefaultSceneRoot__pf->CreationMethod =
EComponentCreationMethod::Native;
    static TWeakFieldPtr<FProperty> __Local__1{};
    const FProperty* __Local__0 = __Local__1.Get();
    if (nullptr == __Local__0)
    {
        __Local__0 = (UActorComponent::StaticClass())->
FindPropertyByName(FName(TEXT("bCanEverAffectNavigation")));
        check(__Local__0);
        __Local__1 = __Local__0;
    }
    (((FBoolProperty*) __Local__0)->
SetPropertyValue_InContainer((bpv__DefaultSceneRoot__pf), false,
0));
PRAGMA_ENABLE_OPTIMIZATION
void
ABP_ARPawn_C_pf104685423::PostLoadSubobjects(FObjectInstancingGra
ph* OuterInstanceGraph)
{
    Super::PostLoadSubobjects(OuterInstanceGraph);
    if(bpv__DefaultSceneRoot__pf)
    {
        bpv__DefaultSceneRoot__pf->CreationMethod =
EComponentCreationMethod::Native;
    }
    if(bpv__Camera__pf)
    {
        bpv__Camera__pf->CreationMethod =
EComponentCreationMethod::Native;
    }
}

```

```

PRAGMA_DISABLE_OPTIMIZATION
void ABP_ARPawn_C_pf104685423::
__CustomDynamicClassInitialization(UDynamicClass* InDynamicClass)
{
    ensure(0 == InDynamicClass->
ReferencedConvertedFields.Num());
    ensure(0 == InDynamicClass->MiscConvertedSubobjects.Num());
    ensure(0 == InDynamicClass->DynamicBindingObjects.Num());
    ensure(0 == InDynamicClass->ComponentTemplates.Num());
    ensure(0 == InDynamicClass->Timelines.Num());
    ensure(0 == InDynamicClass->ComponentClassOverrides.Num());
    ensure(nullptr == InDynamicClass->AnimClassImplementation);
    InDynamicClass->AssembleReferenceTokenStream();
    // List of all referenced converted enums
    InDynamicClass->
ReferencedConvertedFields.Add(LoadObject<UEnum>(nullptr,
TEXT("/Game/HandheldAR/Blueprints/GameFramework/ENUM_GestureType.E
NUM_GestureType")));
    FConvertedBlueprintsDependencies::FillUsedAssetsInDynamicCla
ss(InDynamicClass, &__StaticDependencies_DirectlyUsedAssets);
    auto __Local__3 = NewObject<UInputActionDelegateBinding>
(InDynamicClass, UInputActionDelegateBinding::StaticClass(),
TEXT("InputActionDelegateBinding_1"), (EObjectFlags)0x00000000);
    InDynamicClass->DynamicBindingObjects.Add(__Local__3);
    auto __Local__4 = NewObject<UInputAxisDelegateBinding>
(InDynamicClass, UInputAxisDelegateBinding::StaticClass(),
TEXT("InputAxisDelegateBinding_1"), (EObjectFlags)0x00000000);
    InDynamicClass->DynamicBindingObjects.Add(__Local__4);
    auto __Local__5 = NewObject<UInputTouchDelegateBinding>
(InDynamicClass, UInputTouchDelegateBinding::StaticClass(),
TEXT("InputTouchDelegateBinding_1"), (EObjectFlags)0x00000000);
    InDynamicClass->DynamicBindingObjects.Add(__Local__5);
    __Local__3->InputActionDelegateBindings =
TArray<FBlueprintInputActionDelegateBinding> ();
    __Local__3->InputActionDelegateBindings.AddUninitialized(4);
    FBlueprintInputActionDelegateBinding::StaticStruct()->
InitializeStruct(__Local__3->
InputActionDelegateBindings.GetData(), 4);
    auto& __Local__6 = __Local__3->
InputActionDelegateBindings[0];

```



```

    __Local__6.InputActionName = FName(TEXT("TwoFingerAction"));
    __Local__6.InputKeyEvent = EInputEvent::IE_Released;
    __Local__6.FunctionNameToBind =
FName(TEXT("InpActEvt_TwoFingerAction_K2Node_InputActionEvent_
3"));
    auto& __Local__7 = __Local__3->
InputActionDelegateBindings[1];
    __Local__7.InputActionName = FName(TEXT("TwoFingerAction"));
    __Local__7.FunctionNameToBind =
FName(TEXT("InpActEvt_TwoFingerAction_K2Node_InputActionEvent_
2"));
    auto& __Local__8 = __Local__3->
InputActionDelegateBindings[2];
    __Local__8.InputActionName = FName(TEXT("OneFingerAction"));
    __Local__8.FunctionNameToBind =
FName(TEXT("InpActEvt_OneFingerAction_K2Node_InputActionEvent_
0"));
    auto& __Local__9 = __Local__3->
InputActionDelegateBindings[3];
    __Local__9.InputActionName = FName(TEXT("OneFingerAction"));
    __Local__9.InputKeyEvent = EInputEvent::IE_Released;
    __Local__9.FunctionNameToBind =
FName(TEXT("InpActEvt_OneFingerAction_K2Node_InputActionEvent_
1"));
    __Local__4->InputAxisDelegateBindings =
TArray<FBlueprintInputAxisDelegateBinding> ();
    __Local__4->InputAxisDelegateBindings.AddUninitialized(1);
    FBlueprintInputAxisDelegateBinding::StaticStruct()->
InitializeStruct(__Local__4->InputAxisDelegateBindings.GetData(),
1);
    auto& __Local__10 = __Local__4->
InputAxisDelegateBindings[0];
    __Local__10.InputAxisName = FName(TEXT("TwoFingerMapping"));
    __Local__10.bOverrideParentBinding = false;
    __Local__5->InputTouchDelegateBindings =
TArray<FBlueprintInputTouchDelegateBinding> ();
    __Local__5->InputTouchDelegateBindings.AddUninitialized(1);
    FBlueprintInputTouchDelegateBinding::StaticStruct()->
InitializeStruct(__Local__5->InputTouchDelegateBindings.GetData(),

```

---

```

PRAGMA_ENABLE_OPTIMIZATION
void
ABP_ARPawn_C__pf104685423::bpf__ExecuteUbergraph_BP_ARPawn__pf_
0(int32 bpp__EntryPoint__pf)
{
    check(bpp__EntryPoint__pf == 65);
    // optimized KCST_UnconditionalGoto
    b01__Temp_struct_Variable__pf =
b01__K2Node_InputActionEvent_Key_2__pf;
    // optimized KCST_UnconditionalGoto
    bpv__TwoFingerPressed__pf = true;
    bpv__TwoFingersValidationTimer__pf = 0.000000;
    bpf__GetTouchLocation__pf(/*out*/
b01__CallFunc_GetTouchLocation_Location_1__pf);
    bpv__PreviousFingerPosition__pf =
b01__CallFunc_GetTouchLocation_Location_1__pf;
    bpv__StartingFingerPosition__pf =
bpv__PreviousFingerPosition__pf;
    bpf__GetFingersDistance__pf(/*out*/
b01__CallFunc_GetFingersDistance_Distance__pf);
    bpv__PreviousFingersDistance__pf =
b01__CallFunc_GetFingersDistance_Distance__pf;
    return; //KCST_EndOfThread
}
void
ABP_ARPawn_C__pf104685423::bpf__ExecuteUbergraph_BP_ARPawn__pf_
1(int32 bpp__EntryPoint__pf)
{
    bool bpfv__CallFunc_Greater_FloatFloat_ReturnValue__pf{};
    float bpfv__CallFunc_GetInputAxisValue_ReturnValue__pf{};
    UARTexture* bpfv__CallFunc_GetARTexture_ReturnValue__pf{};
    bool bpfv__CallFunc_IsValid_ReturnValue__pf{};
    bool bpfv__CallFunc_Not_PreBool_ReturnValue_1__pf{};
    float bpfv__CallFunc_Add_FloatFloat_ReturnValue__pf{};
    bool bpfv__CallFunc_BooleanAND_ReturnValue__pf{};
    bool bpfv__CallFunc_Not_PreBool_ReturnValue_2__pf{};
    TArray< int32, TInlineAllocator<8> > __StateStack;

```

```

int32 __CurrentState = bpp__EntryPoint__pf;
do
{
    switch( __CurrentState )
    {
        case 25:
        {
            bpfv__CallFunc_Greater_FloatFloat_ReturnValue__pf =
UKismetMathLibrary::Greater_FloatFloat(bpv__ShowPlaneTimer__pf,
1.000000);
            if (!
bpfv__CallFunc_Greater_FloatFloat_ReturnValue__pf)
            {
                __CurrentState = (__StateStack.Num() >
0) ? __StateStack.Pop(/*bAllowShrinking=*/ false) : -1;
                break;
            }
        }
        case 26:
        {
            bpv__ShowPlaneTimer__pf = 0.000000;
        }
        case 27:
        {
            bpf__UpdatePlaneCandidate__pf();
            __CurrentState = (__StateStack.Num() > 0) ?
__StateStack.Pop(/*bAllowShrinking=*/ false) : -1;
            break;
        }
        case 31:
        {
            __CurrentState = 32;
            break;
        }
        case 32:
        {
            bpv__DT__pf =
b01__K2Node_Event_DeltaSeconds__pf;
        }
        --
    }
}

```

```

case 33:
{
    __StateStack.Push(45);
    __StateStack.Push(43);
    __StateStack.Push(39);
}
case 34:
{
    bpf__ResetRecognisedGesture__pf();
}
case 35:
{
    bpf__OneFingerGestureRecognition__pf();
}
case 36:
{
    bpf__TwoFingersGestureRecognition__pf();
}
case 37:
{
    if (!bpf__GestureRecognised__pf)
    {
        __CurrentState = (__StateStack.Num() >
0) ? __StateStack.Pop(/*bAllowShrinking=*/ false) : -1;
        break;
    }
}
case 38:
{
    b01__K2Node_SwitchEnum_CmpSuccess_1__pf =
UKismetMathLibrary::NotEqual_ByteByte(static_cast<uint8>
(bpv__CurrentTransformation__pf), static_cast<uint8>
(E__ENUM_GestureType__pf::NewEnumerator0));
    if (!b01__K2Node_SwitchEnum_CmpSuccess_1
__pf)
    {
        __CurrentState = 47;
        break;
    }
}

```

```

    /
    case 39:
    {
        bpfv__CallFunc_Not_PreBool_ReturnValue_2__pf
= UKismetMathLibrary::Not_PreBool(bpv__ScanningIsDone__pf);
        if (!bpfv__CallFunc_Not_PreBool_ReturnValue_
2__pf)
            {
                __CurrentState = (__StateStack.Num() >
0) ? __StateStack.Pop(/*bAllowShrinking=*/ false) : -1;
                break;
            }
    }
    case 40:
    {
        bpfv__CallFunc_IsValid_ReturnValue__pf =
UKismetSystemLibrary::IsValid(bpv__CameraDepthTexture__pf);
        if (!bpfv__CallFunc_IsValid_ReturnValue__pf)
            {
                __CurrentState = 41;
                break;
            }
        __CurrentState = (__StateStack.Num() > 0) ?
__StateStack.Pop(/*bAllowShrinking=*/ false) : -1;
        break;
    }
    case 41:
    {
        bpfv__CallFunc_GetARTexture_ReturnValue__pf
=
UARBlueprintLibrary::GetARTexture(EARTTextureType::SceneDepthMap);
    }
    case 42:
    {
        bpv__CameraDepthTexture__pf =
bpfv__CallFunc_GetARTexture_ReturnValue__pf;
        __CurrentState = (__StateStack.Num() > 0) ?
__StateStack.Pop(/*bAllowShrinking=*/ false) : -1;
        break;
    }
}

```

```

    case 43:
    {
        bpfv__CallFunc_Not_PreBool_ReturnValue_1__pf
= UKismetMathLibrary::Not_PreBool(bpv__PlaneIsSelected__pf);
        bpfv__CallFunc_BooleanAND_ReturnValue__pf =
UKismetMathLibrary::BooleanAND(bpv__ScanningIsDone__pf,
bpfv__CallFunc_Not_PreBool_ReturnValue_1__pf);
        if (!
bpfv__CallFunc_BooleanAND_ReturnValue__pf)
        {
            __CurrentState = (__StateStack.Num() >
0) ? __StateStack.Pop(/*bAllowShrinking=*/ false) : -1;
            break;
        }
    }
    case 44:
    {
        bpfv__CallFunc_Add_FloatFloat_ReturnValue__pf =
UKismetMathLibrary::Add_FloatFloat(bpv__DT__pf,
bpv__ShowPlaneTimer__pf);
        bpv__ShowPlaneTimer__pf =
bpfv__CallFunc_Add_FloatFloat_ReturnValue__pf;
        __CurrentState = 25;
        break;
    }
    case 45:
    {
        bpf__FeedLightEstimate__pf();
    }
    case 46:
    {
        bpf__GetTouchLocation__pf(/*out*/
b01__CallFunc_GetTouchLocation_Location_6__pf);
        bpv__PreviousFingerPosition__pf =
b01__CallFunc_GetTouchLocation_Location_6__pf;
        __CurrentState = (__StateStack.Num() > 0) ?
__StateStack.Pop(/*bAllowShrinking=*/ false) : -1;
        break;
    }

```

```

    case 47:
    {
        bpf__GetTouchLocation__pf(/*out*/
b01__CallFunc_GetTouchLocation_Location_2__pf);
        if (::IsValid(bpv__PlaceableObject__pf))
        {
            FUNconvertedWrapper__ABP_Placeable_C__pf231924168(bpv__Place
ableObject__pf).bpf__SetPlaceablePosition__pf(b01__CallFunc_GetTou
chLocation_Location_2__pf, bpv__SnappingTransform__pf,
bpv__ShowHUDInteraction__pf);
        }
        __CurrentState = (__StateStack.Num() > 0) ?
__StateStack.Pop(/*bAllowShrinking=*/ false) : -1;
        break;
    }
    case 48:
    {
        bpf__GetFingersDirection__pf(/*out*/
b01__CallFunc_GetFingersDirection_Direction__pf);
        bpf__GetTouchLocation__pf(/*out*/
b01__CallFunc_GetTouchLocation_Location_4__pf);
        if (::IsValid(bpv__PlaceableObject__pf))
        {
            FUNconvertedWrapper__ABP_Placeable_C__pf231924168(bpv__Place
ableObject__pf).bpf__SetPlaceableRotation__pf(b01__CallFunc_GetFin
gersDirection_Direction__pf,
b01__CallFunc_GetTouchLocation_Location_4__pf,
bpv__SnappingTransform__pf, bpv__ShowHUDInteraction__pf);
        }
        __CurrentState = (__StateStack.Num() > 0) ?
__StateStack.Pop(/*bAllowShrinking=*/ false) : -1;
        break;
    }
}

```



```

        case 49:
        {

            bpfv__CallFunc_GetInputAxisValue_ReturnValue__pf =
AActor::GetInputAxisValue(FName(TEXT("TwoFingerMapping")));
                if (::IsValid(bpv__PlaceableObject__pf))
                {

                    FUnconvertedWrapper_ABP_Placeable_C__pf231924168(bpv__PlaceableObject__pf).bpf__SetPlaceableScale__pf(bpfv__CallFunc_GetInputAxisValue_ReturnValue__pf, bpv__SnappingTransform__pf, bpv__ShowHUDInteraction__pf);
                }
                __CurrentState = (__StateStack.Num() > 0) ?
__StateStack.Pop(/*bAllowShrinking=*/ false) : -1;
                break;
            }
            default:
                check(false); // Invalid state
                break;
        }
    } while( __CurrentState != -1 );
}
void
ABP_ARPawn_C__pf104685423::bpf__ExecuteUbergraph_BP_ARPawn__pf_2(int32 bpp__EntryPoint__pf)
{
    APlayerController*
bpfv__CallFunc_GetPlayerController_ReturnValue__pf{};
    UUserWidget* bpfv__CallFunc_Create_ReturnValue__pf{};
    check(bpp__EntryPoint__pf == 64);
    // optimized KCST_UnconditionalGoto
    bpfv__CallFunc_GetPlayerController_ReturnValue__pf =
UGameplayStatics::GetPlayerController(this, 0);
    bpfv__CallFunc_Create_ReturnValue__pf =
UWidgetBlueprintLibrary::Create(this, CastChecked<UClass>
(CastChecked<UDynamicClass>
(ABP_ARPawn_C__pf104685423::StaticClass())->UsedAssets[1],
ECastCheckedType::NullAllowed),

```

```

bpfv__CallFunc_GetPlayerController_ReturnValue__pf);
    bpv__MainMenu__pf = bpfv__CallFunc_Create_ReturnValue__pf;
    if (::IsValid(bpv__MainMenu__pf))
    {
        bpv__MainMenu__pf->UUserWidget::AddToViewport(0);
    }
    return; //KCST_EndOfThread
}
void
ABP_ARPawn_C__pf104685423::bpf__ExecuteUbergraph_BP_ARPawn__pf_
3(int32 bpp__EntryPoint__pf)
{
    bool bpfv__CallFunc_WorldHitTest_ReturnValue__pf{};
    check(bpp__EntryPoint__pf == 62);
    // optimized KCST_UnconditionalGoto
    b01__Temp_struct_Variable_1__pf =
b01__K2Node_InputActionEvent_Key__pf;
    // optimized KCST_UnconditionalGoto
    bpf__GetTouchLocation__pf(/*out*/
b01__CallFunc_GetTouchLocation_Location__pf);
    bpfv__CallFunc_WorldHitTest_ReturnValue__pf =
bpf__WorldHitTest__pf(b01__CallFunc_GetTouchLocation_Location__pf,
/*out*/ b01__CallFunc_WorldHitTest_HitInfo__pf);
    UGameplayStatics::BreakHitResult(b01__CallFunc_WorldHitTest_
HitInfo__pf, /*out*/

void
ABP_ARPawn_C__pf104685423::bpf__ExecuteUbergraph_BP_ARPawn__pf_
4(int32 bpp__EntryPoint__pf)
{
    check(bpp__EntryPoint__pf == 55);
    // optimized KCST_UnconditionalGoto
    b01__Temp_struct_Variable_1__pf =
b01__K2Node_InputActionEvent_Key_1__pf;
    // optimized KCST_UnconditionalGoto
    bpv__OneFingerPressed__pf = false;
    return; //KCST_EndOfThread
}

```

```

Super(ObjectInitializer)
{
    auto __Local__0 = CastChecked<USceneComponent>(this->
GetDefaultSubobjectByName(TEXT("TransformComponent0")),
ECastCheckedType::NullAllowed);
    if(__Local__0)
    {
        // --- Default subobject 'TransformComponent0' //
        static TWeakFieldPtr<FProperty> __Local__2{};
        const FProperty* __Local__1 = __Local__2.Get();
        if (nullptr == __Local__1)
        {
            __Local__1 = (UActorComponent::StaticClass())->
FindPropertyByName(FName(TEXT("bCanEverAffectNavigation")));
            check(__Local__1);
            __Local__2 = __Local__1;
        }
        (((FBoolProperty*)__Local__1)->
SetPropertyValue_InContainer((__Local__0), false, 0));
        // --- END default subobject 'TransformComponent0' //
    }
    InputYawScale = 2.500000f;
    InputPitchScale = -2.500000f;
    InputRollScale = 1.000000f;
    ForceFeedbackScale = 1.000000f;
    auto& __Local__3 =
(* (AccessPrivateProperty<USceneComponent*>((this), AController::
__PPO__TransformComponent() ));
    __Local__3 = __Local__0;
    auto& __Local__4 =
(* (AccessPrivateProperty<EActorUpdateOverlapsMethod >((this),
AActor::

```

```

__PPO__DefaultUpdateOverlapsMethodDuringLevelStreaming() ));
    __Local__4 = EActorUpdateOverlapsMethod::OnlyUpdateMovable;
}
PRAGMA_ENABLE_OPTIMIZATION
void
ABP_ARPlayerController_C_pf104685423::PostLoadSubobjects(FObjectInstancingGraph* OuterInstanceGraph)
{
    Super::PostLoadSubobjects(OuterInstanceGraph);
}
PRAGMA_DISABLE_OPTIMIZATION
void ABP_ARPlayerController_C_pf104685423::
__CustomDynamicClassInitialization(UDynamicClass* InDynamicClass)
{
    ensure(0 == InDynamicClass->
ReferencedConvertedFields.Num());
    ensure(0 == InDynamicClass->MiscConvertedSubobjects.Num());
    ensure(0 == InDynamicClass->DynamicBindingObjects.Num());
    ensure(0 == InDynamicClass->ComponentTemplates.Num());
    ensure(0 == InDynamicClass->Timelines.Num());
    ensure(0 == InDynamicClass->ComponentClassOverrides.Num());
    ensure(nullptr == InDynamicClass->AnimClassImplementation);
    InDynamicClass->AssembleReferenceTokenStream();
    FConvertedBlueprintsDependencies::FillUsedAssetsInDynamicClass(
InDynamicClass, &__StaticDependencies_DirectlyUsedAssets);
    auto __Local__5 = NewObject<USceneComponent>(InDynamicClass,
USceneComponent::StaticClass(),
TEXT("DefaultSceneRoot_GEN_VARIABLE"), (EObjectFlags)0x00280029);
    InDynamicClass->ComponentTemplates.Add(__Local__5);
    static TWeakFieldPtr<FProperty> __Local__7{};
    const FProperty* __Local__6 = __Local__7.Get();
    if (nullptr == __Local__6)
    {
        __Local__6 = (UActorComponent::StaticClass())->
FindPropertyByName(FName(TEXT("bCanEverAffectNavigation")));
        check(__Local__6);
        __Local__7 = __Local__6;
    }
}

```

```

        (((FBoolProperty*)__Local__6)->
SetPropertyValue_InContainer((__Local__5), false, 0));
    }
    PRAGMA_ENABLE_OPTIMIZATION
    PRAGMA_DISABLE_OPTIMIZATION
    void ABP_ARPlayerController_C_pf104685423::
    __StaticDependencies_DirectlyUsedAssets(TArray<FBlueprintDependencyData>& AssetsToLoad)
    {
    }
    PRAGMA_ENABLE_OPTIMIZATION
    PRAGMA_DISABLE_OPTIMIZATION
    void ABP_ARPlayerController_C_pf104685423::
    __StaticDependenciesAssets(TArray<FBlueprintDependencyData>&
AssetsToLoad)
    {
        __StaticDependencies_DirectlyUsedAssets(AssetsToLoad);
        const FCompactBlueprintDependencyData
LocCompactBlueprintDependencyData[] =
        {
            {7, FBlueprintDependencyType(true, false, false,
false), FBlueprintDependencyType(false, false, false, false)}, //
Class /Script/Engine.SceneComponent
            {8, FBlueprintDependencyType(true, false, false,
false), FBlueprintDependencyType(false, false, false, false)}, //
Class /Script/Engine.PlayerController
            {9, FBlueprintDependencyType(false, true, false,
false), FBlueprintDependencyType(false, false, false, false)}, //
Class /Script/Engine.CheatManager
        };
        for(const FCompactBlueprintDependencyData& CompactData :
LocCompactBlueprintDependencyData)
        {

            AssetsToLoad.Add(FBlueprintDependencyData(F__NativeDependencies::Get(CompactData.ObjectRefIndex), CompactData));
        }
    }
}

```